

Ethernet POWERLINK drivrutin för Proview

SIXTEN ISAKSSON
JACK ENGSTRÖM HOFF

Examensarbete inom
ELEKTROTEKNIK
Inriktning
Högskoleingenjör, 15 hp
Södertälje, Sverige 2013

Ethernet POWERLINK drivrutin för Proview

av

SIXTEN ISAKSSON
JACK ENGSTRÖM HOFF



Examensarbete TMT 2013:25
KTH Industriell teknik och management
Tillämpad maskinteknik
Mariekällgatan 3, 151 81 Södertälje



KTH Industriell teknik
och management

Examensarbete TMT 2013:25

Ethernet POWERLINK drivrutin för Proview

Sixten Isaksson
Jack Engström Hoff

Godkänt 2013-06-20	Examinator KTH Christer Albinsson	Handledare KTH Lars Johansson
	Uppdragsgivare SSAB	Företagskontakt/handledare Daniel Claeson

Sammanfattning

För att ytterligare stärka sina positioner och vidareutveckla sitt egentillverkade styrsystem Proview önskade SSAB att implementera databussen Ethernet Powerlink. Powerlink kan enkelt beskrivas som CANopen över Ethernet. Powerlink har öppen källkod, realtidsprestanda och körs över Ethernets snabba och billiga hårdvarugränssnitt vilket är bidragande faktorer till att dess popularitet växer - speciellt i Asien. Målet med detta arbete var att implementera ett gränssnitt mellan den öppna Ethernet Powerlink stacken och Proview. Då även Proview har öppen källkod samt att dess utvecklingsteam uppmuntrar användare till att utveckla drivrutiner för nya I/O-enheter fanns redan mycket förarbete gjort som underlättade implementeringen. Detta tillsammans med regelbunden kontakt med Proviews utvecklare och en grundlig litteraturgenomgång av Powerlink var nyckeln till ett lyckat genomförande. Examensarbetet dokumenterar genomförandet av gränssnittsimplementeringen mellan Powerlinkstacken och Proview samt hur en generisk slav kan skapas och fungera tillfredsställande i ett Powerlinknätverk. Tester för att pröva stabiliteten utfördes även i större Powerlinknätverk med goda resultat. För att förbättra prestandan rekommenderar författarna att Powerlink i framtiden implementeras på så sätt att det kan laddas in i operativsystemets kärnutrymme. För att få Powerlink enhetlig med resterande databussar i Proview och göra det mer användarvänligt bör en egen nodkonfigurator utvecklas och låta den ingå i Proview.

Nyckelord

openPOWERLINK, Proview, openCAN, openCONFIGURATOR, Ethernet



**KTH Industrial Engineering
and Management**

Bachelor of Science Thesis TMT 2013:25

Ethernet POWERLINK driver for Proview

Sixten Isaksson
Jack Engström Hoff

Approved 2013-06-20	Examiner KTH Christer Albinsson	Supervisor KTH Lars Johansson
	Commissioner SSAB	Contact person at company Daniel Claeson

Abstract

A desire by SSAB to further strengthen their positions and add to the development of SSAB:s control system Proview was to implement the Ethernet Powerlink protocol in Proview. Powerlink can in plain terms be described as openCAN over Ethernet. Powerlink is an open source real-time protocol that runs over Ethernets fast and inexpensive hardware interface. The aim of this project was to implement an interface between the Ethernet Powerlink stack and Proview. Since Proview is an open source system and its development team encourages users to develop drivers for the new I/O devices much of the groundwork was already done which facilitated implementation. This preliminary work was crucial, together with regular contact with the developers of Proview and a thorough literature review of Powerlink, for a successful implementation. This thesis documents the implementation of the interface between the Powerlink stack and Proview. It also covers how a generic slave can be created, configured and function satisfactorily in a Powerlink network. Tests to examine the stability was also performed in larger Powerlink networks with good results. To increase performance and precision of Powerlink the authors recommend that Powerlink, in the future, will be implemented as a kernelmodule. The development of a configurator for the nodes that is included in Proview is also recommended to get the Powerlink protocol consistent with the rest of the I/O protocols in Proview and to make it more user friendly.

Key-words

openPOWERLINK, Proview, openCAN, openCONFIGURATOR, Ethernet

Contents

1	Introduktion	1
1.1	Syfte	1
1.2	Mål	2
1.3	Avgränsning	2
1.4	Frågeställning	2
1.5	Metod	2
2	Bakgrund	3
2.1	Proview	3
2.1.1	I/O konfiguration	4
2.2	Ethernet Powerlink	4
2.2.1	CANopen	4
2.2.2	Ethernet	5
2.2.3	Ethernet Powerlink	6
3	Genomförande	8
3.1	Nodkonfiguration	8
3.1.1	openCONFIGURATOR	8
3.2	Powerlinkstacken	9
3.2.1	Initiering	10
3.2.2	Start	11
3.2.3	Callback funktioner	11
3.2.4	Avslut	11
3.3	Proview IO	12
3.3.1	Initiering	12
3.3.2	Läsning och skrivning	13
3.3.3	Avslut	13
4	Tester och Resultat	14
4.1	Generiska CN-noder	14
5	Diskussion och Slutsats	15
	Bibliography	17

Appendices	18
A Klasshjälp & Klasseditor	19
B Anläggnings- & nodhierarki	27
C openCONFIGURATOR	31
D openCONFIGURATOR	35
E Källkod	39
F Kompilering	62

Chapter 1

Introduktion

SSAB använder idag styrsystemet Proview vilket också har skapats och utvecklats av SSAB. Systemet har gränssnitt till flera olika kommunikationsbussar bland annat Profibus, Modbus och UDP. Ett gränssnitt till Ethernet Powerlink saknas dock i nuläget. Ethernet Powerlink är ett Ethernet baserat realtidsprotokoll med helt öppen källkod vars popularitet växer[17]. Powerlink är ett kommunikationsprotokoll som enkelt skulle kunna beskrivas som CANopen över Ethernet. Detta gör att Powerlink kan förväntas inneha samma funktionssäkerhet som CAN-protokollet tillsammans med hastigheten hos Ethernet[21]. Ethernet-baserad kommunikation har också visat sig kunna vara mycket kostnadseffektiv. Bland annat eftersom infrastrukturen för kommunikation ofta redan finns tillgänglig[18] samt att hårdvarugränssnitten är både billiga och vanliga i de flesta datoriserade utrustningar [19].

1.1 Syfte

Kina är idag ett av de enskilt största producenterna och konsumenterna av stål[6], vilket gör att intresset är stort för SSAB att stärka sina positioner där. SSAB Swedish Steel (China) Co., Ltd är ett dotterbolag i SSAB som grundades 2006, och nyligen öppnade även SSAB ett nytt utveckling- och forskningscenter i Kunshan, Kina[7]. Syftet med detta är att ta nya marknadsandelar i Kina och Asien samt att kunna erbjuda sin spetskompetens[8]. En förutsättning för att kunna göra detta möjligt är att vara i takt med den tekniska utvecklingen. Powerlink utsågs nyligen till att vara en standard i Kina av Standardization Administration of China (SAC) [20]. Med detta som bakgrund är det ett önskemål från SSAB därför att kunna ha ett gränssnitt mellan Proview och en Ethernet-baserad realtidsbuss som Ethernet Powerlink.

1.2 Mål

Målet med detta arbete är att implementera ett gränssnitt mellan den öppna Ethernet Powerlink stacken och Proview, på så sätt att minst en generisk slav kan skapas och fungera tillfredsställande i ett Powerlinknätverk.

1.3 Avgränsning

Någon djupare analys av realtidsprestationen hos Ethernet Powerlink kommer ej att genomföras. En egen tillverkad nodkonfigurator kommer ej att ingå i projektet.

1.4 Frågeställning

För att lyckas med gränssnittsimplementationen måste följande frågor besvaras.

- Hur konfigureras Powerlink stacken?
- Hur initieras och startas Powerlink stacken?
- Hur konfigureras noderna?
- Hur integreras Powerlink stacken i Proview?

1.5 Metod

Inledningsvis kommer en litteraturgenomgång genomföras. Materialet för detta består framför allt av den dokumentation som tillhandahålls av Ethernet POWERLINK Standardization Group (EPSG). När tillräckligt med information och kunskap införskaffats påbörjas själva genomförandet. Till en början görs försök med kommunikation mellan persondatorer i ett mindre nätverk. Detta följs av kommunikationstester med utvecklings-kitet Spartan-6 FPGA LX9 från Xilinx. Slutligen kommer tester utföras på frekvensomriktare utrustade med Powerlink gränssnitt från ABB. För att sedan kunna integrera Powerlink i Proview kommer redan befintliga implementationer av databussgränssnitt att studeras. Stöd kommer finnas tillgängligt i form av kontinuerlig kontakt med utvecklare av Proview. Debugging av applikationer och nätverk kommer ske med hjälp av GNU Project Debugger (GDB) respektive Wireshark.

Chapter 2

Bakgrund

Detta kapitel kommer att ge läsaren nödvändig bakgrundsfakta av SSAB:s styrsystem Proview, CANopen och slutligen Ethernet Powerlink.

2.1 Proview

Proview är förmodligen det första styrsystem i världen som har öppen källkod och är helt gratis[9]. Systemet är utvecklat av SSAB och är mycket kraftfullt och används för bland annat styrning, reglering, datainsamling, kommunikation, och övervakning. Systemet är mycket modernt och har god prestanda och kan tävla med de stora systemtillverkarna som till exempel ABB och Siemens. Proview är ett så kallat soft-PLC vilket innebär att man installerar mjukvara i en vanlig persondator så att den kan agera PLC. Begränsningarna består därför till största del av operativsystemets kapacitet och hårdvarans prestanda. Detta gör att det inte finns några gränser för hur många I/O enheter systemet kan kommunicera med, eller hur många PID-loopar och PLC program som kan köras samtidigt. Systemet körs i Linuxmiljö[13]. In och utsignaler kommer in i systemet via någon form av buss och något kommunikations protokoll. Några exempel är Profibus, Modbus, UDP, TCP, PSS9000, Profinet och det finns många fler. Konfigureringen av systemet görs helt grafiskt, Proview är ett så kallat distribuerat system vilket gör att styrsystemet kan bestå av flera datorer anslutna i ett nätverk. Ett typiskt system består ofta av en styrsystems dator och ett antal operatörsstationer. Det är även lätt att konfigurera operatörsstationer med så kallade HMI-system som kan övervaka ett stort antal styrsystem från flera anläggningar. Programmering kan göras helt objektorienterat. Programmering på traditionellt vis med enkla funktionsblock är möjligt. Komplexa objekt och funktioner kan lätt skapas. Systemet har stöd för flera högnivåspråk som till exempel C, C++, Java och FORTRAN[9].

2.1.1 I/O konfigurering

Eftersom Proview har öppen källkod, körs i Linux och har stöd för högnivåspråk är det möjligt att implementera nya typer av I/O-enheter. Nya I/O-system implementeras genom att skapa klasser i det aktuella projektet eller genom att skapa klasserna direkt i Proviews bassystem [11]. I/O-enheterna kan sedan konfigureras genom att skapa instanser av klasser som finns definierade i bassystemet eller i det aktuella projektets klassvolym. Objekten delas upp i två olika träd, ett som representerar en logisk modell av det fysiska systemet (anläggningshierarkin) och ett som representerar noder (nodhierarkin) [10]. Anläggningshierarkin beskriver de olika funktionerna och processerna som finns i anläggningen. Under denna kategori lägger man PLC kod och instanser av olika objekt som används av PLC programmen. En del objekt (signalobjekt) kan kopplas till objekt i den andra hierarkin (kanalobjekt), exempelvis så kopplar man ett digitalt ingångsobjekt, di-objekt, i anläggningshierarkin till ett digital ingångskanal, ChanDi-objekt, i nodhierarkin [11]. Detta för att ge PLC programmen tillgång till processdata. Processdata kan vara både in- och utdata. Indata kommer från olika typer av sensorer, givare eller andra datorsystem. Utdata är data som ska ut från systemet för att till exempel styra motorer och ställdon. Eftersom givare, sensorer och aktuatorer kan lämna/motta många olika typer av data så finns det flera signalobjekt att välja mellan för anläggningshierarkin, några exempel är digitala in/utgångar samt analoga in/utgångar det finns motsvarande kanalobjekt att lägga i nodhierarkin [12]. Nodhierarkin återspeglar hårdvaran med I/O-system och systemprocesser. I/O-systemen är i sin tur uppbyggda som hierarkier av klasser med fyra nivåer: agent-, rack-, kort- och kanalobjekt. I ett distribuerat I/O-system kan agentnivån ses som en masterenhet, racknivåerna som slavar, kortnivåerna I/O-moduler och slutligen kanalnivåerna olika I/O-kanaler. Dessa objekt konfigureras med parametrar som behövs för de olika I/O-systemen. Exempelvis kan ett Powerlink master objekt konfigureras med det nätverksgränssnitt som stacken ska använda sig av.

2.2 Ethernet Powerlink

2.2.1 CANopen

Controller Area Network (CAN) utvecklades till en början framför allt för användning inom bilindustrin. Där blev den oerhört populär och är idag en av de mest överlägsna fältbussarna i avseende på låga kostnader, förmågan att fungera i påfrestande miljöer, hög tillförlitlighet när det gäller realtidsegenskaper, utmärkt feldektivering och hantering samt lättanvänt[16]. På grund av dess framgångar inom bilindustrin har det även växt fram en stor marknad med billiga mikrokontrollers försedda med CAN-gränssnitt[14]. CAN-protokollet har på så sätt flyttats utanför bilindustrin och har i och med det skapat ett behov av ett öppet och standardiserad högnivåprotokoll som erbjuder samma pålitliga dataöverföring som CAN. Ett flertal högnivå CAN protokoll har således dykt upp, där CANopen är en av de absolut mest

2.2. ETHERNET POWERLINK

populära[14]. I Open Systems Interconnection (OSI) modellen tillhör CANopen det sjunde lagret, det vill säga applikationsskiktet. Målet med CANopen är att möjliggöra kommunikation och samverkan mellan olika typer av enheter genom ett koncept som kallas profilering[16]. En analogi skulle kunna vara att betrakta protokollet som ett språk exempelvis svenska. Då utgör det fysiska skiktet, exempelvis CAN eller Ethernet, pennan och pappret. Datalinkskiktet kan ses som det svenska alfabetet. Applikations skiktet motsvarar en svensk ord- och grammatikbok medan CANopens enhetsprofil tillhandahåller svenska fraser. Enhetsprofilen utgör kärnan i CANopen och det är denna som garanterar samverkan mellan olika typer av CANopen enheter. Den mest fundamentala delen av enhetsprofilen är dess objektlexikon. Denna innehåller dataobjekt, kommunikationsobjekt och olika kommandon. CANopen ger full access till enheters objektlexikon så att användaren både kan läsa och skriva i detta. Objektlexikonet består 65536 adressplatser som vardera kan hålla 256 parametrar. Adressplatserna är sedan uppdelade i specifika intervall som följer den standard som CAN in Automatio (CiA) har definierat[16]. CiA är en internationell organisation bestående av användare och tillverkare som tillsammans främjar och utvecklar de översta lagren i CAN-baserade protokoll. Kommunikationen kan delas upp i fyra olika typer. Service data object (SDO) och process data object (PDO) används för att överföra data. SDO meddelande kan användas för att överföra data samt konfigurera noderna men har större overhead än PDO meddelanden. PDO meddelandena är ett effektivare sätt att överföra data men dessa meddelanden måste bli definierade under initieringen. Network management (NMT) meddelandena har högst prioritet och används för att koordinera enheterna i nätverket samt övervaka statusen hos noderna. Utöver dessa meddelande finns även meddelanden med fördefinierade format som används för felrapportering, synkronisering och timing.

2.2.2 Ethernet

Ethernet utvecklades från början av Xerox PARC under 70-talet [2]. Den kommersiella introduktionen och standardiseringen kom under 80-talet som ISO standard IEEE 802.3. Ethernet är idag helt dominerade inom höghastighetskommunikation[3] och hårdvarugränssnittet finns i de flesta datoriserade utrustningarna. I begynnelsen av Ethernet låg överföringshastigheten på 10 Mbit/s men är idag uppe i 100 Gbit/s. I OSI modellen befinner sig Ethernet i de två lägsta lagren - det fysiska skiktet och datalänkskiktet[1]. På grund av detta kan det fysiska mediet variera. Tidigare var olika typer av koaxialkabel vanligast men idag är partvinnad kabel och fiberoptik helt klart mest förekommande. Fördelen med de partvinnade kablar är att de är relativt billiga i jämförelse med fiberoptisk kabel. Fiberoptisk kabel är dock helt överlägset när det gäller möjlighet till långa avstånd mellan noderna[5]. För att överföra datapaketet över Ethernet inkapslas dessa i Ethernetramar. I huvudet på ramen finns 32-bitars MAC adresser till källan och destinationen. Ramen avslutas med en 32-bitars cyclic redundancy check (CRC) för att upptäcka eventuellt korrupt data[4]. CSMA/CD tillämpas inom Ethernet för att upptäcka och hantera

kollisioner[4]. Om en kollision upptäcks väntar noden en slumpartad tid innan den åter försöker sända igen. Detta gör att Ethernet kommunikation inte skulle lämpa sig för realtidsapplikationer då dessa måste vara deterministiska. Moderna Ethernet baserade nät använder sig dock inte av CSMA/CD längre[4]. Trots att dessa nät är helt kollisionsfria på grund av introduktionen av full-duplex funktioner och switchar är dessa fortfarande bakåtkompatibla och har således stöd för CSMA/CD.

2.2.3 Ethernet Powerlink

Eftersom CANopen befinner sig i applikationsskiktet är möjligt att använda andra fysiska gränssnitt än CAN. Detta anammade Bernecker & Rainer (B&R) när de utvecklade Ethernet Powerlink som idag administreras och förvaltas av EPL Standardization Group (EPSG) [22]. Ett av huvudmålen med Powerlink var att vara plattformsoberoende vilket gör att nuvarande implementationer kan köras på bland annat Linux, Windows och VxWorks[25]. Powerlink är baserat på Ethernet standarden IEEE 802.3 tillsammans med CANopen[23]. Anslutningen mellan nätverksenheter kan ske med nätverkshubbar eller switchar, nätverkshubbar är dock att föredra då dessa har mindre fördröjningar och ett mer förutsägbart beteende[25]. Powerlink protokollet är baserat på principerna av ett master-slav system på ett delat Ethernet segment som kallas Slot Communication Network Management (SCNM)[22]. I Powerlink protokollet finns två typer av noder definierade - Managing Node (MN) och Controlled Node (CN) [22]. MN-noden är unik och representerar mastern i en master-slav relation. CN-noderna utgör således slavar och i ett och samma Powerlink nätverk kan 240 stycken slavar implementeras[17]. Masternoden säkerställer åtkomst för realtidskritiska cykliska data för att sedan låta icke realtidskritisk kommunikation passera endast i tidsluckor avsedda för detta ändamål. Powerlink cykeln startar genom att MN-noden skickar ut en Start of Cycle (SoC) ram som ett multicast meddelande. Detta meddelande innehåller inga data utan är endast till för att synkronisera alla Powerlink enheter[25]. Direkt efter det att SoC meddelandet har skickats börjar MN-noden skicka Poll Request (PReq) meddelande till samtliga noder i nätverket. CN noderna är enbart tillåtna att sända data när de har fått en direkt begäran genom ett PReq meddelande. Vardera CN nod svarar med ett Poll Response (PRes) meddelande som MN noden väntar på. Detta gör att kollisioner undviks trots användandet av nätverkshubbar[24]. Då PRes ramen skickas som ett multicast meddelande tillåter detta direkt kommunikation mellan CN noderna utan inverkan av MN noden[25]. Detta minskar tiden avsevärt för dataöverföring mellan noderna. Efter den synkrona fasen börjar den asynkrona fasen. Denna fas är dedikerad till all kommunikation som inte är realtidskritisk exempelvis diagnostiska data, ARP eller TCP/IP[23]. CN noderna kan signalera i PRes meddelande till MN noden att denna vill sända asynkrona data. MN noden avgör sedan vilka enheter som får sända asynkrona data och meddelar detta i Start of Asynchronous (SoA) ramen [25]. SoA ramen markerar också början på den asynkrona fasen till samtliga enheter på nätverket. Enligt protokollet tillåts dock endast en nod ett asynkront meddelande under vardera cykel. Enligt

2.2. ETHERNET POWERLINK

Powerlink standarden finns två typer av asynkrona meddelanden: Powerlink ASnd (Asynchronous Send) och Legacy Ethernet meddelanden. Efter den asynkrona fasen påbörjas den inaktiva perioden då MN noden inväntar nästa cykelstart. Denna schemaläggning garanterar det deterministiska beteende som ett hårt realtidsprotokoll kräver [23]. Då Powerlink kommunikationen är starkt beroende av exakt timing är dess mest kritiska parameter SoC-jitter, det vill säga önskad tidsavvikelse mellan SoC meddelanden. Storleken på SoC-jittret är främst beroende av operativsystemet och dess nätverksstack[25]. Hög upplösning hos operativsystemets interna klockor är nödvändigt för att minimera jittret. Fördröjningar som skapas av nätverksdrivern då ett paket tas emot och skickas ut påverkar också SoC-jittret. Figur 2.1 nedan visar en typisk Powerlink cykel. Powerlink kan implementeras som

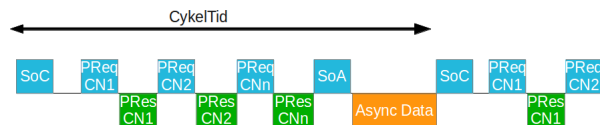


Figure 2.1. Schematisk bild av Powerlink cykeln. Cykeltiden mäts från SoC till Soc.

en del av operativsystemets kärnutrymme eller som en del av användarutrymmet. För maximal prestanda och minimering av jittret rekommenderas att Powerlink körs i kärnutrymmet[25]. Att köra Powerlink i användarutrymmet har dock andra fördelar - bland annat behövs inte specifika Ethernetkontroller, och det kräver mindre underhåll och är lättare att felsöka. Powerlinks kommunikationsprofil är i övrigt nästintill direkt anpassad efter CANopen. PDO-meddelande används för dataöverföring och SDO-meddelanden för att konfigurera noder. PDO-meddelandena utbyts under den synkrona fasen eftersom händelseutlösta PDO skulle påverka de hårda realtidskraven [23]. För att överensstämma med IEEE 802.3 standarden har varje Powerlinkenhet en unik MAC adress. Varje Powerlinkenhet tilldelas också ett nod-ID. MN-noden har nod-ID 240 och övriga slavar tilldelas ett nod ID < 240. Om det är nödvändigt för en Powerlinkenhet att använda sig av TCP/IP tilldelas denna en klass C IP adress där host delen motsvarar enhetens nod-ID[23].

Chapter 3

Genomförande

Detta kapitel kommer att behandla gränssnittsimplementationen mellan Powerlink och Proveiw. Specifikt innebär detta en genomgång av konfigurering och initiering av Powerlink stacken samt implementeringen i Proveiw.

3.1 Nodkonfigurering

MN-noden i ett Powerlink nätverk har möjlighet att konfigurera samtliga noder genom SDO meddelanden. För att detta skall vara möjligt krävs dock att MN-noden har tillgång till en binärfil med alla instruktioner. I detta projekt användes openCONFIGURATOR, som är ett öppet konfigureringsverktyg tillverkat av Kalycito Infotech[26], för att skapa den binära filen.

3.1.1 openCONFIGURATOR

Enhetsprofilen för vardera nod beskrivs i XML Device Descriptions (XDD) filer. Dessa tillhandahålls av återförsäljaren för produkten eller kan tillverkas manuellt för skräddarsydda applikationer. Standardenhetsprofiler för ett flertal olika enheter finns beskrivna av CiA[16] bland annat för generiska IO moduler, servon och stegmotorer. I openCONFIGURATOR kan en hierarki sättas upp med MN-noden och underliggande CN-noder. Till noderna kan färdiga XDD-filer importeras, men annars används en fördefinierad standard. Under varje nod kan ytterligare index skapas och definieras. Indexen är uppdelad i specifika områden efter vilken typ av parameter indexet innehåller. Tabell 3.1 beskriver hur uppdelningen av index är definierad efter parametertyp i ett objektlexikon.

3.2. POWERLINKSTACKEN

Intervall	Parameter beskrivning
0001H - 009FH	Definitioner av datatyper
00A0H - 0FFFH	Reserverade för framtida bruk
1000H - 1FFFH	Utrymme för kommunikationsprofil. Bland annat parametrar för timing och identifiering av enhet.
2000H - 5FFFH	Utrymme för produktspecifika parametrar definierade av tillverkaren.
6000H - 9FFH	Utrymme för standardiserad enhetsprofil. Kan användas enligt en CiA enhetsprofil standard.
A000H - FFFFH	Reserverade för framtida bruk

Table 3.1. Indexbeskrivning för objektlexikon

Under dessa adressplatser kan ytterligare 256 subindex skapas och definieras. Varje subindex innehåller sedan i sin tur ett variabelnamn, objekttyp, datatyp samt andra attribut som anger om läsning och skrivning är tillåten. De datatyper som kan användas sträcker sig från boolska variabler till 64 bitars heltal. Objekttyperna kan vara exempelvis variabler, arrayer eller structar. Det räcker dock inte med att definiera parametrar i objektlexikonet för att konfigurationen av noder och dataöverföring skall fungera. De data som skall skickas i PDO-meddelandena måste kartläggas på förhand. Det finns två typer av PDO-meddelanden, Transmit Process Data Objects (TPDO) och Receive Process Data Objects (RPDO), som används för att sända data respektive mottaga data. De processvariabler som skall sändas kartläggs under vardera nods TPDO och måste innehålla index och subindex för variabeln, offset samt storlek. På motsvarande sätt kartläggs de processvariabler som skall mottagas under RPDO. När projektet sedan byggs har openCONFIGURATOR stöd för att automatiskt generera PDO-kartläggningen för MN-noden. När konfiguration byggt projektet skapas en binärfil av filformatet CDC som sedan kan användas vid initieringen av Powerlink stacken. Konfiguration ger inte bara möjlighet att definiera och möjliggöra överföring av processvariabler utan har också stöd för att konfigurera alla andra parametrar som exempelvis olika tidsparametrar, watchdogs och nod-ID.

3.2 Powerlinkstacken

Följande sektion beskriver hur Powerlink stacken initieras, startas och avslutas. Här ges också en beskrivning av hur den asynkrona och synkrona dataöverföringen möjliggörs i applikationen.

3.2.1 Initiering

Initieringen av Powerlink är förhållandevis enkel då Powerlinkbiblioteket tillhandahåller en stor mängd färdigskrivna klasser och funktioner. Första steget i initieringen av Powerlink är att skapa en instans av klassen `EplApiInitParam`. Denna klass har ett antal attribut och metoder som måste definieras för att initieringen skall fungera. De attribut som är obligatoriska att definiera samt beskrivning av attributet visas i tabell 3.2 nedan.

Parameter	Beskrivning
<code>uiNodeId</code>	Lokalt nod-ID, 1-239
<code>dwIpAddress</code>	Lokal IP-adress
<code>abMacAddress</code>	Lokal MAC adress, om MAC adressen sätts till noll används värdet som finns förvarat i enhetens EEPROM.
<code>pszDevName</code>	Namn på valt nätverkskort
<code>dwCycleLen</code>	Cykeltid i μs , läggs i det lokala objektlexikonet på plats 0x1006
<code>fAsyncOnly</code>	Huruvida noden enbart medverkar i asynkron kommunikation eller både synkron/asynkron.
<code>uiIsochrTxMaxPayload</code>	Maximal datamängd att sända i den synkrona trafiken, läggs i det lokala objektlexikonet på plats 0x1F98/1
<code>uiIsochrRxMaxPayload</code>	Maximal datamängd att mottaga i den synkrona trafiken, läggs i det lokala objektlexikonet på plats 0x1F98/2
<code>dwAsndMaxLatency</code>	Maximal fördröjning hos asynkrona dataramar, läggs i det lokala objektlexikonet på plats 0x1F98/3
<code>dwPresMaxLatency</code>	Maximal fördröjning hos PRes meddelanden, läggs i det lokala objektlexikonet på plats 0x1F98/6
<code>pfnCbEvent</code>	Funktionspekare till applikationens asynkrona callback funktion
<code>pfnCbSync</code>	Funktionspekare till applikationens synkrona callback funktion

Table 3.2. Parameterbeskrivning hos de parametrar som är obligatoriska att definiera

`EplApiInitParam` innehåller många fler parametrar som kan definieras, bland annat serienummer och enhetstyp. Om parametrar tilldelas det maximala värdet

3.2. POWERLINKSTACKEN

för datatypen ignoreras parametervärdet och motsvarande förinställda värde i objektlexikonet används istället. Efter det att attributen hos `EplApiInitStruct` har definierats används metoden `EplApiInitialize` för att initiera stacken. `EplApiInitialize` tar instansen av `EplApiInitStruct` som argument.

3.2.2 Start

Innan starten av stacken sker måste länkningen av den binära CDC-filen göras, samt viss initiering för att möjliggöra överföring av processdata. Funktionen `EplApiSetCdcFilename` tar ett argument av datatypen `string` som i sin tur enbart innehåller en sökväg till CDC-filen. För att kunna överföra processdata används en processbild (`Process Image`) det vill säga ett minnesblock som kan uppdateras cykliskt. Minnesblocket allokeras genom ett funktionsanrop till `EplApiProcessImageAlloc` som tar argumentet för storleken på in- och utdata. Ett funktionsanrop till `EplApiProcessImageSetup` för länkning av processvariabler är också nödvändig innan starten. Slutligen startas stacken genom att anropa funktionen `EplApiExecNmtCommand` med argumentet `kEplNmtEventSwReset`. Argumentet `kEplNmtEventSwReset` är en enum och innebär en mjuk omstart av stacken.

3.2.3 Callback funktioner

Som nämnts tidigare innehåller initieringen referenser till två typer av callback-funktioner - en för synkron och en för asynkron dataöverföring. Funktionen för asynkron överföring anropas då nätverks hanterarens (NMT) eller noders status förändras, åtkomst ges till objektlexikonet, SDO meddelanden avslutas samt om olika typer av fel på Powerlinkstacken uppstår. NMT statusen i Powerlink representeras av olika enums av typen `tEplNmtState`. Vissa tillstånd måste hanteras av applikationen eller Powerlink stacken men många kräver inte någon åtgärd alls. I funktionen för synkron dataöverföring kan läsning och skrivning till CN-noder utföras. Genom att kalla på funktionen `EplApiProcessImageExchange` med adressen för ut- och indata som argumentet kan ett säkert utbyte av processdata utföras.

3.2.4 Avslut

För att avsluta stacken på ett säkert sätt anropas `EplApiExecNmtCommand` med argumentet `kEplNmtEventSwitchOff`. Detta argument stänger NMT så att Powerlinkstacken säkert kan avslutas. Innan avslutet är det dock viktigt att frigöra det minnesblocket som tidigare allokerades genom `EplApiProcessImageAlloc`. För att frigöra minnet anropas funktionen `EplApiProcessImageFree`. Slutligen anropas funktionen `EplApiShutdown` för att avsluta och stänga ned Powerlinkstacken.

3.3 Proview IO

För att implementera ett nytt I/O-system i ett Proviewprojekt skapas klasser i dess klassvolym. Om det är ett I/O-system som kan komma att användas i flera system sker implementationen med fördel i Proviews bassystem och kommer då bli tillgängligt för alla som använder Proview. Detta för att skapa en utvecklingsmiljö där återanvändbarhet förespråkas. Powerlink implementationen ingår i bassystemet. Proviews utvecklingsteam uppmuntrar användare till att utveckla interface för nya I/O-enheter, i Proview finns därför redan en mängd färdigskrivna klasser och metoder som underlättar implementeringen. Det finns bland annat basklasser för agent-, rack- och kortobjekten som redan innehåller de vanligaste attributen för respektive objekt. De subclasser som sedan skapas ärver alla de attribut och metoder som basklasserna innehåller. För initiering, läsning, skrivning och avslut registreras metoder för vardera objekt. Powerlink är ett så kallat distribuerat I/O-system, därför representerar agentnivån MN-noden, racknivån CN-noder, kortnivån I/O-moduler och slutligen kanalnivån olika I/O. Denna sektion kommer beskriva vilka klasser som är nödvändiga att skapa, och vad dessa innehåller för att implementationen av Powerlink skall vara möjlig i Proview. Vidare kommer också en förklaring på hur processen körs igång samt hur dataöverföringen möjliggörs.

3.3.1 Initiering

Vid uppstart av ett Proviewsystem så startar flera processer som hanterar olika delar i systemet, ett exempel är `rt_errh` som tar emot meddelanden från andra processer. Processen `rt_powerlink` är den process som hanterar Powerlinkstacken. För att möjliggöra initiering och utbyte av data med PLC processen kopplar processen upp sig mot Proviews realtidsdatabas. Om inga Powerlinkmastrar hittas av `rt_powerlink` så avslutas processen, annars körs initieringen. Agentobjekten har en initieringsfunktion registrerad hos sig som anropas av `rt_powerlink`. Funktionen heter `IoAgentInit`, den kommer i sin tur anropa en funktion för initieringen och start av Powerlink stacken på det sätt som är beskrivet i kapitel 3.2. Rack- och kortobjekten behöver således ingen egen initieringsfunktion, då all initiering hanteras av agentobjektet. Under initieringen görs också viss förberedelse för dataöverföringen. Agentobjektet innehåller två pekare för in- och utdataareor. Allokeringen av minne till dessa minnesareor sker dynamiskt. För att beräkna storleken för minnesallokeringen måste först agentobjektets slahierarki traverseras för att undersöka antalet underliggande kanalobjekt samt dess storlekar. När beräkningen av storleken på in- och utdataareorna görs räknas även offset ut för varje slav, detta för att processen ska veta vilka delar av areorna som tillhör vilken slav. På samma sätt räknas även offset ut för varje kanalobjekt i varje slav. När detta är gjort har en länk skapats mellan Powerlinks processbild och Proviews kanalobjekt. Proview har ett befintligt system för att hantera meddelanden från olika processer, implementationen av Powerlinkstacken är kopplad till detta system för att ge en bra bild av vad som händer i stacken.

3.3. PROVIEW IO

3.3.2 Läsning och skrivning

Agentobjektet har en funktion för läsning och en för skrivning av processdata registrerat i sin definition, funktionerna `IoAgentRead` respektive `IoAgentWrite`. Powerlink stacken är uppbyggd så att MN-noden sköter all läsning och skrivning, och det är därför inte nödvändigt att implementera rack- och kortobjektens motsvarande metoder. Agentobjektet kopierar istället Powerlinks processbild och distribuerar data till sina underliggande objekt. När funktionen `AppCbSync` anropas så anropar den i sin tur funktionen `EplApiProcessImageExchange` för att överföra Powerlinks processbild till de minnesareor som agentobjektets in- och utdatapekare pekar på. Callback-funktionen `AppCbSync` tillhör `rt_powerlink` processen och har en egen tråd som går parallellt med tråden som sköter dataöverföringen mellan Proview och Powerlinkstacken. Efter det att initieringen är gjord så startar en sekvens med funktionsanrop, först anropas `IoAgentRead` för alla Powerlink agentobjekt som då använder sin indata pekare för att datasätta sina underliggande slavobjekts kanalobjekt. I slutet av sekvensen anropas sedan `IoAgentWrite` som använder kanalobjektens data för att skriva till det minne som agentobjektets utdata pekare pekar på. Dessa data blir då en del av Powerlinks processbild. Denna sekvens upprepas sedan om och om igen med en periodtid som bestäms i agentobjektet. PLC-programmets process kan då fritt använda sig av processdata vid exekveringen av den faktiska PLC-koden.

3.3.3 Avslut

När Proview avslutar IO-systemet anropas metoden `IoAgentClose`. Denna metod stänger ned Powerlink stacken och frigör det minne som allokerats på det sätt som är beskrivet i sektion 3.2.4.

Chapter 4

Tester och Resultat

4.1 Generiska CN-noder

Ett flertal testfall med stegrande svårighetsgrad konstruerades för att testa systemet. De utformades så att de skulle kunna testa stabiliteten i nätverkskommunikationen under olika situationer. Svårighetsgraden ökade med ökande antal CN-noder, ökande antal parametrar och varierande parametertyper. Slutligen lämnades systemet igång i 72 timmar med ett nätverk bestående av en MN-nod och fyra CN-noder som alla skickade och mottog olika antal och typer av processdata. I Proview skrevs ett PLC program som simulerade processdata att styra ut till de olika CN-noderna. Nätverkskommunikationen visade sig vara stabil och fungerade tillfredsställande utan några omstartande noder eller upphakningar i systemet. Systemet var även stabilt när noder kopplades på och av från bussen. Nätverket beskrivs i figur 4.1.

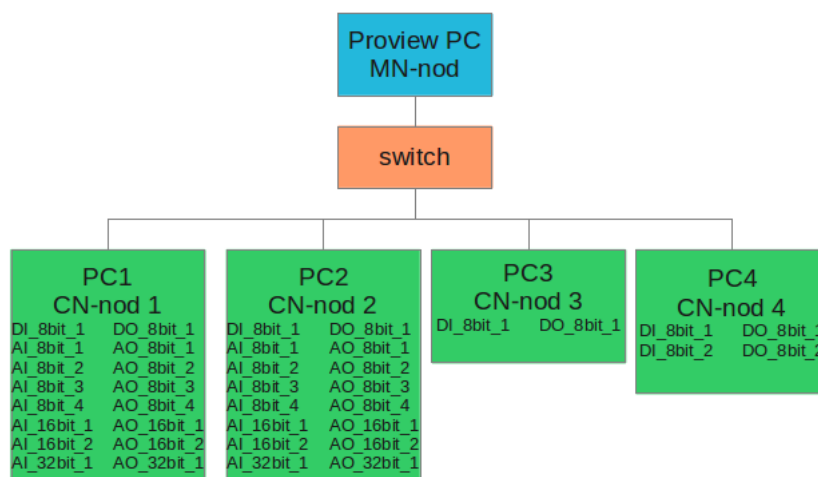


Figure 4.1. Beskrivning av testnätverk samt parametertyper för vardera CN-nod.

Chapter 5

Diskussion och Slutsats

Då den nuvarande implementationen är tillräcklig för att uppfylla de grundkrav som ställdes från SSAB:s sida finns fortfarande flera saker som kan korrigeras och förbättras.

Initieringen och uppstarten av stacken körs nu i en egen process på ett sätt som inte helt följer standarden i Proview. När försök gjordes att följa standarden avslutades applikationen abrupt. Applikation felsöktes då med GDB som visade att problemet härrörde från en deadlock-situation. Det vill säga en situation där två eller flera konkurrerande uppgifter tvingas att samtidigt vänta ut varandra, vilket då får konsekvensen att ingen uppgift utförs. Deadlock-situationen kan ha sitt ursprung i de flertal trådar som skapas under initieringen för att bland annat ta hand om dataöverföring, Ethernettrafik och databufferten. Flera av dessa trådar använder lås för delade resurser i form av semaforer och mutex. Det är vanligt att dessa kan ge upphov till deadlock-situationer. Eftersom det är känt att applikationer med multipla trådar är notoriskt svåra att felsöka[27] är det inte helt säkert att det verkligen rörde sig om ett deadlock. Det kunde snarare vara så att timingen påverkades av felsökningen och på så sätt skapade en deadlock-situation.

Ytterligare ett problem som uppdagades under projektet tog lång tid att lösa. Det visade sig att nätverk med flera slavnoder kan bli instabila under vissa omständigheter. Situationen kunde uppstå efter det att ett nätverk satts upp i en viss nod-ID ordning som sedan kastades om. Detta kunde leda till att en av noderna började omstartas. Av vad som går att utläsa från felmeddelandena i masternoden härrör detta fel från att ett tröskelvärde överskridits på felaktiga PRes meddelanden från den berörda slaven. Detta skulle förklara varför slaven omstartas men ger dock ingen förklaring till varför felet uppstår från början. Flera teorier har föreslagits för att sedan förkastas. Till en början misstänktes att orsaken hade att göra med vilken typ av nätverkskomponent som styrde datatrafiken mellan noderna. Då Powerlinknätverk använder sig av både MAC adresser och nod-ID för att identifiera slavar blev den första tanken att problemet hade sitt ursprung i att MAC-adresser sparats i switchens CAM-tabell (Content Addressable Memory). Att byta ut switchen mot en nätverkshubb visade sig dock bara försämrade stabiliteten. Nästa

tanke var att problemet orsakades av en konflikt mellan noder som kördes på eller hade konfigurerats med 64- respektive 32-bitars system. Problemet uppstod när tre eller färre slavar användes och alltid då en av noderna som ingick i nätverket kördes på ett 64-bitars operativsystem och denna inte hade högst nod-ID. Felet kunde inte provoceras fram då 64-bitars noden hade högst nod-ID oavsett hur de resterande slavarnas nod-ID kastade om. Detta visade sig dock inte stämma när ytterligare en nod introducerades i nätverket. Då började det misstänkas att problemet hade att göra med överföringsparametrar som hastighet, duplexläge eller flödeskontroll alternativt val av nätverkskort som i sin tur gav upphov till felaktig timing. Det visade sig dock tillslut att det var inställningar på PollResponse-timeout värdet i slavnoderna som var för korta. Detta värde avgör hur länge masternoden väntar på på svar från slavnoden.

För att konfigurera noderna används i nuläget den externa nodkonfiguratorn openCONFIGURATOR. Anledningen till detta är konfiguratorn producerar en binär CDC fil med instruktioner som sedan Powerlinkstacken använder sig av vid initieringen. Att använda en extern programvara innebär tyvärr merarbete i mer än en bemärkelse. Dels eftersom att nodhierarchy först måste skapas i konfiguratorn för att sedan återigen skapas i Proview. I/O kanalerna i openCONFIGURATOR ordnas också automatiskt efter 32bitars anpassning. Detta innebär att det i Proview kan bli nödvändigt att manuellt införa utfyllnadsvariabler mellan kanalobjekten för att överföringen av processdata skall fungera. I openCONFIGURATOR måste mappningen av processdata ske manuellt vilket är tidskrävande och lätt en källa till fel. Att använda en extern konfigurator innebär också att användaren måste lära sig ett nytt grafiskt gränssnitt vilken kan vara både tidskrävande och mödosamt. Det bör därför läggas ned tid och resurser för att utveckla en intern konfigurator med samma möjlighet som i openCONFIGURATOR men som också har automatisk mappning av processvariabler. Eftersom att openCONFIGURATOR har öppen källkod skulle mycket förarbetet redan vara utfört, men trots detta skulle det säkerligen krävas en lika stor arbetsinsats som detta projekt tog i anspråk.

I detta projekt implementerades Powerlink som en del av operativsystemets användarutrymme. Det var fördelaktigt under arbetsfasen då en hel del tester och felsökning utfördes samt många typer av slavar användes med olika nätverkskort. Powerlink bör dock, i framtiden, implementeras som en del av kärnutrymmet. Detta kräver emellertid att specifika Ethernet kontroller används men ger då i gengäld maximal prestanda, timing och minimering av jitter.

Bibliography

- [1] Digital Equipment Corporation, Intel Corporation and Xerox Corporation (1980). *The Ethernet, A Local Area Network. Data Link Layer and Physical Layer Specifications, Version 1.0*, Xerox Corporation.
- [2] Nationalencyklopedin., *Ethernet*,
<http://www.ne.se/lang/ethernet>
- [3] U, Von Burg, M Kenny (2003). *Sponsors, Communities, and Standards: Ethernet vs. Token Ring in the Local Area Networking Business*, Industry and Innovation, 351-375.
- [4] C E. Spurgeon(2000). *Ethernet: The Definitive Guide*, O'Reilly Media, Sebastopol
- [5] U, Von Burg, M Kenny (2001). *The Triumph of Ethernet: Technological Communities and the Battle for the LAN Standard*, Stanford Business Books, Palo Alto.
- [6] Nationalencyklopedin., *Fakta om stål*,
<http://www.ne.se.focus.lib.kth.se/lang/stal>
- [7] SSAB., *Hållbara produkter*,
<http://www.ssab.com/en/Investor-Media/Sustainability/33/>
- [8] JJ, Löwgren. (2013). *SSAB Global Business Development: A Study of the International Marketing Expansion Model for HWP in China*, (Student paper). Mälardalens högskola.
- [9] Proview Team (2013), *Fakta om Proview*,
<http://www.proview.se/>
- [10] SSAB. (2009). *Getting Started Guide*, SSAB, Oxelösund.
- [11] SSAB. (2010). *Guide to I/O System*, SSAB, Oxelösund.
- [12] SSAB. (2011). *Designer's Guide*, SSAB, Oxelösund.
- [13] SSAB. (2011). *Developer's Guide*, SSAB, Oxelösund.

BIBLIOGRAPHY

- [14] O Pfeiffer, A Ayre, C Keydel. (2008). *Embedded networking with CAN and CANopen*, RTC Books, San Clemente.
- [15] W Voss. (2005). *A Comprehensible Guide to Controller Area Network*, Copperhill Technologies Corporation, Greenfield Massachusetts.
- [16] M Farsi, K Ratcliff, M Barbosa. (1999). *An introduction to CANopen*, Computing and Control Engineering Journal, 161-168.
- [17] L. Seno, S. Vitturi, C. Zunino. (2009). *Real Time Ethernet Networks Evaluation Using Performance Indicators*, Emerging Technologies and Factory Automation, 1-8.
- [18] L. JA, Maestro, P Reviriego. (2010). *Energy Efficiency in Industrial Ethernet: The Case of Powerlink*, IEEE transactions on industrial electronics, 2896-2903.
- [19] JD Decotignie. (2005). *Ethernet-Based Real-Time and Industrial Communications*, Proceedings of the IEEE, 1102-1117.
- [20] A Quek. (2012). *POWERLINK Awarded National Standard in China*, Control Engineering Asia.
- [21] G Cena, L Seno, A Valenzano and S Vitturi. (2010). *Performance analysis of Ethernet Powerlink networks for distributed control and automation systems*, Computer Standards and Interfaces, 566-572.
- [22] M Felser. (2005). *Real-Time Ethernet? Industry Prospective*, Proceedings of the IEEE, 1118-1129.
- [23] SYS TEC electronic. (2008). *Introduction into openPOWERLINK*, SYS TEC electronic GmbH, Greiz.
- [24] J Baumgartner, S Schoenegger. (2010). *POWERLINK and Real-Time Linux: A Perfect Match for Highest Performance in Real Applications*, In Twelfth Real-Time Linux Workshop, Nairobi.
- [25] W Wallner, J Baumgartner. (2011). *openPOWERLINK in Linux Userspace: Implementation and Performance Evaluation of the Real-Time Ethernet Protocol Stack in Linux Userspace*, Bernecker & Rainer Industrie-Elektronik, Eggelsberg.
- [26] Kalycito Powerlink Team. (2009). *UM DemoProject openCONFIGURATOR For openCONFIGURATOR*, Kalycito Infotech, Coimbatore.
- [27] ED Berger, T Yang, T Liu, G Novark. (2009). *Grace: safe multi-threaded programming for C/C++*, ACM Sigplan Notices, 81-96.

Appendix A

Klasshjälp & Klasseditor

Detta är en grafisk representation av det verktyg som används för att skapa klasser, följt av den kod som genereras när klassvolymen byggs och den klasshjälp som finns tillgänglig.

☐	Type	\$TypeHier
☐	Class	\$ClassHier
☐	PI_Module	\$ClassDef
☐	RtBody	\$ObjBodyDef
⊗	Description	\$Attribute
⊗	Specification	\$Attribute
⊗	DataSheet	\$Attribute
⊗	Process	\$Attribute
⊗	ThreadObject	\$Attribute
⊗	ErrorCount	\$Attribute
⊗	ErrorSoftLimit	\$Attribute
⊗	ErrorHardLimit	\$Attribute
⊗	InputAreaOffset	\$Attribute
⊗	InputAreaSize	\$Attribute
⊗	OutputAreaOffset	\$Attribute
⊗	OutputAreaSize	\$Attribute
☐	IoMethods	\$RtMethod
⊗	IoCardInit	\$Method
⊗	IoCardClose	\$Method
⊗	IoCardRead	\$Method
⊗	IoCardWrite	\$Method
⊗	Template	PI_Module
☐	PI_CN	\$ClassDef
☐	RtBody	\$ObjBodyDef
⊗	Description	\$Attribute
⊗	Specification	\$Attribute
⊗	DataSheet	\$Attribute
⊗	Process	\$Attribute
⊗	ThreadObject	\$Attribute
⊗	ErrorCount	\$Attribute
⊗	ErrorSoftLimit	\$Attribute
⊗	ErrorHardLimit	\$Attribute
⊗	ByteOrdering	\$Attribute
⊗	InputAreaOffset	\$Attribute
⊗	InputAreaSize	\$Attribute
⊗	OutputAreaOffset	\$Attribute
⊗	OutputAreaSize	\$Attribute
⊗	Template	PI_CN
☐	PI_MN	\$ClassDef
☐	RtBody	\$ObjBodyDef
⊗	Description	\$Attribute
⊗	CDCfile	\$Attribute
⊗	Device	\$Attribute
⊗	Nodeld	\$Attribute
⊗	Process	\$Attribute
⊗	ThreadObject	\$Attribute
⊗	EplStatus	\$Attribute
☐	IoMethods	\$RtMethod
⊗	IoAgentInit	\$Method
⊗	IoAgentClose	\$Method
⊗	IoAgentRead	\$Method
⊗	IoAgentWrite	\$Method
⊗	Template	PI_MN


```
1  /*      Proview V4.8.6 pwr_cvolpltestclasses.h */
2
3  /*      Generated by co_convert. */
4  /*      Do not edit this file. */
5
6  #ifndef pwr_cvolpltestclasses_h
7  #define pwr_cvolpltestclasses_h
8
9  #ifndef pwr_class_h
10 #include "pwr_class.h"
11 #endif
12
13
14 /*_* Enum: EplStatusEnum
15   @Aref EplStatusEnum EplStatusEnum
16 */
17
18 typedef pwr_tEnum pwr_tEplStatusEnum;
19
20 typedef enum {
21     pwr_eEplStatusEnum_EplSuccessful          = 0,
22     pwr_eEplStatusEnum_EplIllegalInstance    = 1,
23     pwr_eEplStatusEnum_EplInvalidInstanceParam = 2,
24     pwr_eEplStatusEnum_EplNoFreeInstance     = 3,
25     pwr_eEplStatusEnum_EplWrongSignature     = 4,
26     pwr_eEplStatusEnum_EplInvalidOperation   = 5,
27     pwr_eEplStatusEnum_EplInvalidNodeId     = 7,
28     pwr_eEplStatusEnum_EplNoResource        = 8,
29     pwr_eEplStatusEnum_EplShutdown          = 9,
30     pwr_eEplStatusEnum_EplReject            = 10,
31     pwr_eEplStatusEnum_EplRetry             = 11,
32     pwr_eEplStatusEnum_EplInvalidEvent      = 12,
33     pwr_eEplStatusEnum_EplEdrvNoFreeTxDesc  = 17,
34     pwr_eEplStatusEnum_EplEdrvInvalidCycleLen = 18,
35     pwr_eEplStatusEnum_EplEdrvInitError     = 19,
36     pwr_eEplStatusEnum_EplEdrvNoFreeBufEntry = 20,
37     pwr_eEplStatusEnum_EplEdrvBufNotExisting = 21,
38     pwr_eEplStatusEnum_EplEdrvInvalidRxBuf  = 22,
39     pwr_eEplStatusEnum_EplEdrvInvalidParam  = 28,
40     pwr_eEplStatusEnum_EplEdrvNextTxListNotEmpty = 29,
41     pwr_eEplStatusEnum_EplEdrvCurTxListEmpty = 30,
42     pwr_eEplStatusEnum_EplEdrvTxListNotFinishedYet = 31,
43     pwr_eEplStatusEnum_EplDllOutOfMemory    = 33,
44     pwr_eEplStatusEnum_EplDllIllegalHdl     = 34,
45     pwr_eEplStatusEnum_EplDllCbAsyncRegistered = 35,
46     pwr_eEplStatusEnum_EplDllAsyncSyncReqFull = 36,
47     pwr_eEplStatusEnum_EplDllAsyncTxBufferEmpty = 37,
48     pwr_eEplStatusEnum_EplDllAsyncTxBufferFull = 38,
49     pwr_eEplStatusEnum_EplDllNoNodeInfo     = 39,
50     pwr_eEplStatusEnum_EplDllInvalidParam    = 40,
51     pwr_eEplStatusEnum_EplDllInvalidAsndServiceId = 41,
52     pwr_eEplStatusEnum_EplDllTxBufNotReady  = 46,
53     pwr_eEplStatusEnum_EplDllTxFrameInvalid = 47,
54     pwr_eEplStatusEnum_EplObdIllegalPart    = 48,
55     pwr_eEplStatusEnum_EplObdIndexNotExist  = 49,
56     pwr_eEplStatusEnum_EplObdSubindexNotExist = 50,
57     pwr_eEplStatusEnum_EplObdReadViolation  = 51,
58     pwr_eEplStatusEnum_EplObdWriteViolation = 52,
```

```
59 pwr_eEplStatusEnum_EplObdAccessViolation = 53,  
60 pwr_eEplStatusEnum_EplObdUnknownObjectType = 54,  
61 pwr_eEplStatusEnum_EplObdVarEntryNotExist = 55,  
62 pwr_eEplStatusEnum_EplObdValueTooLow = 56,  
63 pwr_eEplStatusEnum_EplObdValueTooHigh = 57,  
64 pwr_eEplStatusEnum_EplObdValueLengthError = 58,  
65 pwr_eEplStatusEnum_EplObdErrnoSet = 59,  
66 pwr_eEplStatusEnum_EplObdInvalidDcf = 60,  
67 pwr_eEplStatusEnum_EplObdOutOfMemory = 61,  
68 pwr_eEplStatusEnum_EplObdNoConfigData = 62,  
69 pwr_eEplStatusEnum_EplNmtUnknownCommand = 64,  
70 pwr_eEplStatusEnum_EplNmtInvalidFramePointer = 65,  
71 pwr_eEplStatusEnum_EplNmtInvalidEvent = 66,  
72 pwr_eEplStatusEnum_EplNmtInvalidState = 67,  
73 pwr_eEplStatusEnum_EplNmtInvalidParam = 68,  
74 pwr_eEplStatusEnum_EplNmtSyncReqRejected = 69,  
75 pwr_eEplStatusEnum_EplSdoUdpMissCb = 80,  
76 pwr_eEplStatusEnum_EplSdoUdpNoSocket = 81,  
77 pwr_eEplStatusEnum_EplSdoUdpSocketError = 82,  
78 pwr_eEplStatusEnum_EplSdoUdpThreadError = 83,  
79 pwr_eEplStatusEnum_EplSdoUdpNoFreeHandle = 84,  
80 pwr_eEplStatusEnum_EplSdoUdpSendError = 85,  
81 pwr_eEplStatusEnum_EplSdoUdpInvalidHdl = 86,  
82 pwr_eEplStatusEnum_EplSdoSeqMissCb = 96,  
83 pwr_eEplStatusEnum_EplSdoSeqNoFreeHandle = 97,  
84 pwr_eEplStatusEnum_EplSdoSeqInvalidHdl = 98,  
85 pwr_eEplStatusEnum_EplSdoSeqUnsupportedProt = 99,  
86 pwr_eEplStatusEnum_EplSdoSeqNoFreeHistory = 100,  
87 pwr_eEplStatusEnum_EplSdoSeqFrameSizeError = 101,  
88 pwr_eEplStatusEnum_EplSdoSeqRequestAckNeeded = 102,  
89 pwr_eEplStatusEnum_EplSdoSeqInvalidFrame = 103,  
90 pwr_eEplStatusEnum_EplSdoSeqConnectionBusy = 104,  
91 pwr_eEplStatusEnum_EplSdoSeqInvalidEvent = 105,  
92 pwr_eEplStatusEnum_EplSdoComUnsupportedProt = 112,  
93 pwr_eEplStatusEnum_EplSdoComNoFreeHandle = 113,  
94 pwr_eEplStatusEnum_EplSdoComInvalidServiceType = 114,  
95 pwr_eEplStatusEnum_EplSdoComInvalidHandle = 115,  
96 pwr_eEplStatusEnum_EplSdoComInvalidSendType = 116,  
97 pwr_eEplStatusEnum_EplSdoComNotResponsible = 117,  
98 pwr_eEplStatusEnum_EplSdoComHandleExists = 118,  
99 pwr_eEplStatusEnum_EplSdoComHandleBusy = 119,  
100 pwr_eEplStatusEnum_EplSdoComInvalidParam = 120,  
101 pwr_eEplStatusEnum_EplEventUnknownSink = 128,  
102 pwr_eEplStatusEnum_EplEventPostError = 129,  
103 pwr_eEplStatusEnum_EplEventReadError = 130,  
104 pwr_eEplStatusEnum_EplEventWrongSize = 131,  
105 pwr_eEplStatusEnum_EplTimerInvalidHandle = 144,  
106 pwr_eEplStatusEnum_EplTimerNoTimerCreated = 145,  
107 pwr_eEplStatusEnum_EplTimerThreadError = 146,  
108 pwr_eEplStatusEnum_EplSdoAsndInvalidNodeId = 160,  
109 pwr_eEplStatusEnum_EplSdoAsndNoFreeHandle = 161,  
110 pwr_eEplStatusEnum_EplSdoAsndInvalidHandle = 162,  
111 pwr_eEplStatusEnum_EplPdoNotExist = 176,  
112 pwr_eEplStatusEnum_EplPdoLengthExceeded = 177,  
113 pwr_eEplStatusEnum_EplPdoGranularityMismatch = 178,  
114 pwr_eEplStatusEnum_EplPdoInitError = 179,  
115 pwr_eEplStatusEnum_EplPdoConfWhileEnabled = 183,  
116 pwr_eEplStatusEnum_EplPdoErrorMapp = 184,
```

```
117 pwr_eEplStatusEnum_EplPdoVarNotFound = 185,  
118 pwr_eEplStatusEnum_EplPdoVarNotMappable = 186,  
119 pwr_eEplStatusEnum_EplPdoSizeMismatch = 188,  
120 pwr_eEplStatusEnum_EplPdoTooManyTxPdcs = 189,  
121 pwr_eEplStatusEnum_EplPdoInvalidObjIndex = 190,  
122 pwr_eEplStatusEnum_EplPdoTooManyPdcs = 191,  
123 pwr_eEplStatusEnum_EplCfmConfigError = 192,  
124 pwr_eEplStatusEnum_EplCfmSdocTimeOutError = 193,  
125 pwr_eEplStatusEnum_EplCfmInvalidDcf = 194,  
126 pwr_eEplStatusEnum_EplCfmUnsupportedDcf = 195,  
127 pwr_eEplStatusEnum_EplCfmConfigWithErrors = 196,  
128 pwr_eEplStatusEnum_EplCfmNoFreeConfig = 197,  
129 pwr_eEplStatusEnum_EplCfmNoConfigData = 198,  
130 pwr_eEplStatusEnum_EplCfmUnsuppDatatypeDcf = 199,  
131 pwr_eEplStatusEnum_EplApiTaskDeferred = 320,  
132 pwr_eEplStatusEnum_EplApiInvalidParam = 322,  
133 pwr_eEplStatusEnum_EplApiNoObdInitRam = 323,  
134 pwr_eEplStatusEnum_EplApiSdoBusyIntern = 324,  
135 pwr_eEplStatusEnum_EplApiPIAlreadyAllocated = 325,  
136 pwr_eEplStatusEnum_EplApiPIOutOfMemory = 326,  
137 pwr_eEplStatusEnum_EplApiPISizeExceeded = 327,  
138 pwr_eEplStatusEnum_EplApiPINotAllocated = 328,  
139 pwr_eEplStatusEnum_EplApiPIJobQueueFull = 329,  
140 pwr_eEplStatusEnum_EplApiPIJobQueueEmpty = 330,  
141 pwr_eEplStatusEnum_EplApiPIInvalidJobSize = 331,  
142 pwr_eEplStatusEnum_EplApiPIInvalidPIPointer = 332,  
143 pwr_eEplStatusEnum_EplApiPINonBlockingNotSupp = 333,  
144 } pwr_eEplStatusEnum;  
145  
146  
147 #ifndef pwr_cClass_Pl_Module  
148 #define pwr_cClass_Pl_Module 1662779416UL  
149  
150 /*_* Class: Pl_Module  
151 Body: RtBody  
152 @Aref Pl_Module pwr_sClass_Pl_Module  
153 */  
154  
155 typedef struct {  
156 pwr_tString80 Description pwr_dAlignLW;  
157 pwr_tString80 Specification pwr_dAlignW;  
158 pwr_tURL DataSheet pwr_dAlignW;  
159 pwr_tIoProcessMask Process pwr_dAlignW;  
160 pwr_tObjid ThreadObject pwr_dAlignW;  
161 pwr_tUInt16 ErrorCount pwr_dAlignW;  
162 pwr_tUInt16 ErrorSoftLimit pwr_dAlignW;  
163 pwr_tUInt16 ErrorHardLimit pwr_dAlignW;  
164 pwr_tUInt32 InputAreaOffset pwr_dAlignW;  
165 pwr_tUInt32 InputAreaSize pwr_dAlignW;  
166 pwr_tUInt32 OutputAreaOffset pwr_dAlignW;  
167 pwr_tUInt32 OutputAreaSize pwr_dAlignW;  
168 } pwr_sClass_Pl_Module;  
169  
170 #endif  
171  
172  
173 #ifndef pwr_cClass_Pl_CN  
174 #define pwr_cClass_Pl_CN 1662779408UL
```

```
175
176 /*_* Class: Pl_CN
177      Body: RtBody
178      @Aref Pl_CN pwr_sClass_Pl_CN
179 */
180
181 typedef struct {
182     pwr_tString80          Description pwr_dAlignLW;
183     pwr_tString80          Specification pwr_dAlignW;
184     pwr_tURL               DataSheet pwr_dAlignW;
185     pwr_tIoProcessMask     Process pwr_dAlignW;
186     pwr_tObjid             ThreadObject pwr_dAlignW;
187     pwr_tUInt16            ErrorCount pwr_dAlignW;
188     pwr_tUInt16            ErrorSoftLimit pwr_dAlignW;
189     pwr_tUInt16            ErrorHardLimit pwr_dAlignW;
190     pwr_tByteOrderingEnum ByteOrdering pwr_dAlignW;
191     pwr_tUInt32            InputAreaOffset pwr_dAlignW;
192     pwr_tUInt32            InputAreaSize pwr_dAlignW;
193     pwr_tUInt32            OutputAreaOffset pwr_dAlignW;
194     pwr_tUInt32            OutputAreaSize pwr_dAlignW;
195 } pwr_sClass_Pl_CN;
196
197 #endif
198
199
200 #ifndef pwr_cClass_Pl_MN
201 #define pwr_cClass_Pl_MN 1662779400UL
202
203 /*_* Class: Pl_MN
204      Body: RtBody
205      @Aref Pl_MN pwr_sClass_Pl_MN
206 */
207
208 typedef struct {
209     pwr_tString80          Description pwr_dAlignLW;
210     pwr_tString256         CDCfile pwr_dAlignW;
211     pwr_tString80          Device pwr_dAlignW;
212     pwr_tUInt16            NodeId pwr_dAlignW;
213     pwr_tIoProcessMask     Process pwr_dAlignW;
214     pwr_tObjid             ThreadObject pwr_dAlignW;
215     pwr_tEplStatusEnum     EplStatus pwr_dAlignW;
216 } pwr_sClass_Pl_MN;
217
218 #endif
219
220 #endif
221
```

◀ Class CVoIPITest:PI_MN PI_MN

Author JackE Sixtenl
Version 1.0

Description

Before the use of a Powerlink agent object a configuration file must be created (cdc-file).

The preferred software for building the cdc-file is openCONFIGURATOR. When using openCONFIGURATOR you must provide the device description files (.xdd) for all the slaves that will be used in the Powerlink network.

The mapping of the in- and outputareas will be made with help of openCONFIGURATOR. All communication parameters such as cycle time will be configured using openCONFIGURATOR.

When the configuration is complete you build the cdc-file and transfer it to your project. Preferred location of the cdc-file is \$pwrp_exe of the current project. Then all you have to do is to specify the path in the CDCfile attribute.

When building the cdc-file you will also get a file named xap.h, this file contains two structs that represents the in- and outputareas. You use this as a map when you add channel objects to the module object, when done this file should coincide with the channel objects you put under the module objects.

The Nodeld is always 240 for a Powerlinkmaster. The address range 1-239 is used for slaves, you specify the address of a slave in the openCONFIGURATOR.

A basic setup would be: first put a PI_MN object in the node hierarchy and under the PI_MN object you put a PI_CN object and under the PI_CN object you put a PI_Module object and under the PI_Module object you put channel objects, with the chan-in objects first and the chan-out objects last.

Example:

```
PI_MN
-PI_CN
  -PI_Module
    -ChanAi
    -ChanAi
    -ChanAi
    -ChanIo
    -ChanAo
  -PI_CN
    -PI_Module
      -ChanAi
      -ChanAo
```

RtBody

Description

String80 \$Attribute

Used to add a short description of the master

CDCfile

String256 \$Attribute

This attribute should contain a path to a cdc-file.

Example: /home/pwrp/mnood.cdc

Device

String80 \$Attribute

The network device used by the Powerlinkstack

Example: eth0

Nodeld

UInt16 \$Attribute Flags[Noedit]

The Nodeld of the master, should always be 240.

Process

IoProcessMask \$Attribute

The Preview process the agent object is associated with

ThreadObject

Objid \$Attribute

EplStatus



























































EplStatusEnum \$Attribute Flags[State|Noedit]

The current status of the Powerlink stack

Appendix B

Anläggnings- & nodhierarki

Detta är en grafisk representation av ett Proviewprojekt. Första bilden visar anläggningshierarkin följt av nodhierarkin. Sista bilden visar en operatörsbild.

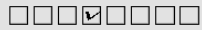
	POWERLINK	\$PlantHier
	Slav1	\$PlantHier
	Slav2	\$PlantHier
	Slav3	\$PlantHier
	Styrning	PlcPgm
	DigitalIn0	Di
	DigitalIn1	Di
	DigitalIn2	Di
	DigitalIn3	Di
	DigitalIn4	Di
	DigitalIn5	Di
	DigitalIn6	Di
	DigitalIn7	Di
	DigitalOut0	Do
	DigitalOut1	Do
	DigitalOut2	Do
	DigitalOut3	Do
	DigitalOut4	Do
	DigitalOut5	Do
	DigitalOut6	Do
	DigitalOut7	Do
	Slav4	\$PlantHier
	Styrning	PlcPgm
	DigitalIn0	Di
	DigitalIn1	Di
	DigitalIn2	Di
	DigitalIn3	Di
	DigitalIn4	Di
	DigitalIn5	Di
	DigitalIn6	Di
	DigitalIn7	Di
	DigitalIn8	Di
	DigitalIn9	Di
	DigitalIn10	Di
	DigitalIn11	Di
	DigitalIn12	Di
	DigitalIn13	Di
	DigitalIn14	Di
	DigitalIn15	Di
	Padd1	Di
	DigitalOut0	Do
	DigitalOut1	Do
	DigitalOut2	Do
	DigitalOut3	Do
	DigitalOut4	Do
	DigitalOut5	Do
	DigitalOut6	Do
	DigitalOut7	Do
	DigitalOut8	Do
	DigitalOut9	Do
	DigitalOut10	Do
	DigitalOut11	Do
	DigitalOut12	Do
	DigitalOut13	Do
	DigitalOut14	Do
	DigitalOut15	Do
	Padd2	Do
	ABB	\$LibHier

Nodes	\$NodeHier
PITest	\$Node
Security	\$Security
MessageHandler	MessageHandler
IOHandler	IOHandler
Backup	Backup_Conf
Op	OpPlace
Maintenance	OpPlace
OpDefault	OpPlace
Plc	PlcProcess
WebHandler	WebHandler
WebBrowser	WebBrowserConfig
StatusServer	StatusServerConfig
Master	PI_MN Första Powerlink MN
Slav1	PI_CN
Card	PI_Module
Slav2	PI_CN
Slav3	PI_CN
Card	PI_Module
DI_0	ChanDi
DI_1	ChanDi
DI_2	ChanDi
DI_3	ChanDi
DI_4	ChanDi
DI_5	ChanDi
DI_6	ChanDi
DI_7	ChanDi
DO_0	ChanDo
DO_1	ChanDo
DO_2	ChanDo
DO_3	ChanDo
DO_4	ChanDo
DO_5	ChanDo
DO_6	ChanDo
DO_7	ChanDo
Slav4	PI_CN
POWERLINK	\$PlantHier
pwrNode	\$NodeHier

Slav1



Ai0_8
Ai1_8
Ai2_8
Ai3_8
Ai0_16
Ai1_16
Ai0_32



Ao0_8
Ao1_8
Ao2_8
Ao3_8
Ao0_16
Ao1_16
Ao0_32

Slav2

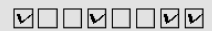


Ai0_8
Ai1_8
Ai2_8
Ai3_8
Ai0_16
Ai1_16
Ai0_32



Ao0_8
Ao1_8
Ao2_8
Ao3_8
Ao0_16
Ao1_16
Ao0_32

Slav3



Slav4



Appendix C

openCONFIGURATOR

Nodkonfiguration som visar variabelmappning i openCONFIGURATOR. Bild två visar en autogenererad h-fil som representerar variablerna position i processbilden.



Network Browser

- 4Slavar2s11m
 - openPOWERLINK_MN(240)
 - OBD
 - CN_1(1)
 - NMT_DeviceType_U32(0x1000)
 - ERR_ErrorRegister_U8(0x1001)
 - NMT_CycleLen_U32(0x1006)
 - NMT_ManufactDevName_VS(0x1008)
 - NMT_ManufactHwVers_VS(0x1009)
 - NMT_ManufactSwVers_VS(0x100A)
 - NMT_IdentityObject_REC(0x1018)
 - CFM_VerifyConfiguration_REC(0x1020)
 - NMT_InterfaceGroup_0h_REC(0x1030)
 - NMT_RelativeLatencyDiff_AU32(0x1050)
 - SDO_SequLayerTimeout_U32(0x1300)
 - DLL_CNLossSoC_REC(0x1C0B)
 - DLL_CNLossPReq_REC(0x1C0D)
 - DLL_CNCRCErrror_REC(0x1C0F)
 - DLL_CNLossOfSocTolerance_U32(0x1C14)
 - NMT_NodeAssignment_AU32(0x1F81)
 - NMT_FeatureFlags_U32(0x1F82)
 - NMT_EPLVersion_U8(0x1F83)
 - NMT_CurrNMTState_U8(0x1F8C)
 - NMT_PResPayloadLimitList_AU16(0x1F8D)
 - NMT_EPLNodeID_REC(0x1F93)
 - NMT_CycleTiming_REC(0x1F98)
 - NMT_CNBasicEthernetTimeout_U32(0x1F99)
 - NMT_ResetCmd_U8(0x1F9E)
 - DigitalInput_00h_AU8(0x6000)
 - DigitalOutput_00h_AU8(0x6200)
 - AnalogueInput_00h_AI8(0x6400)
 - AnalogueInput_00h_AI16(0x6401)
 - AnalogueInput_00h_AI32(0x6402)
 - AnalogueOutput_00h_AI8(0x6410)
 - AnalogueOutput_00h_AI16(0x6411)
 - AnalogueOutput_00h_AI32(0x6412)
 - PDO
 - TPDO
 - RPDO
 - CN_2(2)
 - CN_3(3)
 - CN_4(4)

No	Node Id	Offset	Length	Index	Sub Index
0	0x0	0x0000	0x0008	0x6000	0x01
1	0x0	0x0008	0x0008	0x6400	0x01
2	0x0	0x0010	0x0008	0x6400	0x02
3	0x0	0x0018	0x0008	0x6400	0x03
4	0x0	0x0020	0x0008	0x6400	0x04
5	0x0	0x0028	0x0010	0x6401	0x01
6	0x0	0x0038	0x0010	0x6401	0x02
7	0x0	0x0048	0x0020	0x6402	0x01
8	0x0	0x0000	0x0000	0x0000	0x00
9	0x0	0x0000	0x0000	0x0000	0x00
10	0x0	0x0000	0x0000	0x0000	0x00
11	0x0	0x0000	0x0000	0x0000	0x00
12	0x0	0x0000	0x0000	0x0000	0x00
13	0x0	0x0000	0x0000	0x0000	0x00
14	0x0	0x0000	0x0000	0x0000	0x00
15	0x0	0x0000	0x0000	0x0000	0x00
16	0x0	0x0000	0x0000	0x0000	0x00

Save Discard

Info Error Warning

```

Project 4Slavar2s11m at /home/pwrp/Documents/openCONFIGURATOR_Projects/4Slavar2s11m is successfully opened
$ files mnobd.txt, mnobd.cdc, xap.xml, xap.h, ProcessImage.cs are generated at location /home/pwrp/Documents/openCONFIGURATOR_Projects/4Slavar2s11m/cdc_xap
$ Importing file /home/pwrp/Downloads/torsdagMN/openPOWERLINK-V1.08.2/ObjDicts/CIA401_CN/00000000_POWERLINK_CIA401_CN.xdd for Node ID : 2
$ Imported file /home/pwrp/Downloads/torsdagMN/openPOWERLINK-V1.08.2/ObjDicts/CIA401_CN/00000000_POWERLINK_CIA401_CN.xdd for Node ID: 2
Project 4Slavar2s11m at location /home/pwrp/Documents/openCONFIGURATOR_Projects/4Slavar2s11m is saved
$ files mnobd.txt, mnobd.cdc, xap.xml, xap.h, ProcessImage.cs are generated at location /home/pwrp/Documents/openCONFIGURATOR_Projects/4Slavar2s11m/cdc_xap
$ Importing file /home/pwrp/Downloads/torsdagMN/openPOWERLINK-V1.08.2/ObjDicts/CIA401_CN/00000000_POWERLINK_CIA401_CN.xdd for Node ID : 3
$ Imported file /home/pwrp/Downloads/torsdagMN/openPOWERLINK-V1.08.2/ObjDicts/CIA401_CN/00000000_POWERLINK_CIA401_CN.xdd for Node ID: 3
    
```

```
1  /* This file was autogenerated by openCONFIGURATOR-1.2.2 on 17-Jun-2013 14:09:1
1  */
2  #ifndef XAP_h
3  #define XAP_h
4
5
6  # define COMPUTED_PI_OUT_SIZE 36
7  // The inputarea
8  typedef struct
9  {
10     unsigned CN1_M00_DigitalInput_00h_AU8_DigitalInput:8;
11     unsigned CN1_M00_AnalogueInput_00h_AI8_AnalogueInput01:8;
12     unsigned CN1_M00_AnalogueInput_00h_AI8_AnalogueInput02:8;
13     unsigned CN1_M00_AnalogueInput_00h_AI8_AnalogueInput03:8;
14     unsigned CN1_M00_AnalogueInput_00h_AI8_AnalogueInput04:8;
15     unsigned PADDING_VAR_1:8;
16     unsigned CN1_M01_AnalogueInput_00h_AI16_AnalogueInput01:16;
17     unsigned CN1_M01_AnalogueInput_00h_AI16_AnalogueInput02:16;
18     unsigned PADDING_VAR_2:16;
19     unsigned CN1_M02_AnalogueInput_00h_AI32_AnalogueInput:32;
20     unsigned CN2_M00_DigitalInput_00h_AU8_DigitalInput:8;
21     unsigned CN2_M00_AnalogueInput_00h_AI8_AnalogueInput01:8;
22     unsigned CN2_M00_AnalogueInput_00h_AI8_AnalogueInput02:8;
23     unsigned CN2_M00_AnalogueInput_00h_AI8_AnalogueInput03:8;
24     unsigned CN2_M00_AnalogueInput_00h_AI8_AnalogueInput04:8;
25     unsigned PADDING_VAR_3:8;
26     unsigned CN2_M01_AnalogueInput_00h_AI16_AnalogueInput01:16;
27     unsigned CN2_M01_AnalogueInput_00h_AI16_AnalogueInput02:16;
28     unsigned PADDING_VAR_4:16;
29     unsigned CN2_M02_AnalogueInput_00h_AI32_AnalogueInput:32;
30     unsigned CN3_M00_DigitalInput_00h_AU8_DigitalInput:8;
31     unsigned CN4_M00_DigitalInput_00h_AU8_DigitalInput01:8;
32     unsigned CN4_M00_DigitalInput_00h_AU8_DigitalInput02:8;
33     unsigned PADDING_VAR_5:8;
34 } PI_OUT;
35
36 # define COMPUTED_PI_IN_SIZE 36
37 // The outputarea
38 typedef struct
39 {
40     unsigned CN1_M00_DigitalOutput_00h_AU8_DigitalOutput:8;
41     unsigned CN1_M10_AnalogueOutput_00h_AI8_AnalogueOutput01:8;
42     unsigned CN1_M10_AnalogueOutput_00h_AI8_AnalogueOutput02:8;
43     unsigned CN1_M10_AnalogueOutput_00h_AI8_AnalogueOutput03:8;
44     unsigned CN1_M10_AnalogueOutput_00h_AI8_AnalogueOutput04:8;
45     unsigned PADDING_VAR_1:8;
46     unsigned CN1_M11_AnalogueOutput_00h_AI16_AnalogueOutput01:16;
47     unsigned CN1_M11_AnalogueOutput_00h_AI16_AnalogueOutput02:16;
48     unsigned PADDING_VAR_2:16;
49     unsigned CN1_M12_AnalogueOutput_00h_AI32_AnalogueOutput:32;
50     unsigned CN2_M00_DigitalOutput_00h_AU8_DigitalOutput:8;
51     unsigned CN2_M10_AnalogueOutput_00h_AI8_AnalogueOutput01:8;
52     unsigned CN2_M10_AnalogueOutput_00h_AI8_AnalogueOutput02:8;
53     unsigned CN2_M10_AnalogueOutput_00h_AI8_AnalogueOutput03:8;
54     unsigned CN2_M10_AnalogueOutput_00h_AI8_AnalogueOutput04:8;
55     unsigned PADDING_VAR_3:8;
56     unsigned CN2_M11_AnalogueOutput_00h_AI16_AnalogueOutput01:16;
57     unsigned CN2_M11_AnalogueOutput_00h_AI16_AnalogueOutput02:16;
```

```
58     unsigned PADDING_VAR_4:16;  
59     unsigned CN2_M12_AnalogueOutput_00h_AI32_AnalogueOutput:32;  
60     unsigned CN3_M00_DigitalOutput_00h_AU8_DigitalOutput:8;  
61     unsigned CN4_M00_DigitalOutput_00h_AU8_DigitalOutput:8;  
62     unsigned PADDING_VAR_5:16;  
63 } PI_IN;  
64  
65 #endif  
66
```

Appendix D

openCONFIGURATOR

Nodkonfiguration som visar variabelmappning i openCONFIGURATOR. Bild två visar en autogenererad h-fil som representerar variablerna position i processbilden.



Network Browser

- 4Slavar2s11m
 - openPOWERLINK_MN(240)
 - OBD
 - CN_1(1)
 - NMT_DeviceType_U32(0x1000)
 - ERR_ErrorRegister_U8(0x1001)
 - NMT_CycleLen_U32(0x1006)
 - NMT_ManufactDevName_VS(0x1008)
 - NMT_ManufactHwVers_VS(0x1009)
 - NMT_ManufactSwVers_VS(0x100A)
 - NMT_IdentityObject_REC(0x1018)
 - CFM_VerifyConfiguration_REC(0x1020)
 - NMT_InterfaceGroup_0h_REC(0x1030)
 - NMT_RelativeLatencyDiff_AU32(0x1050)
 - SDO_SequLayerTimeout_U32(0x1300)
 - DLL_CNLossSoC_REC(0x1C0B)
 - DLL_CNLossPReq_REC(0x1C0D)
 - DLL_CNCRCErrror_REC(0x1C0F)
 - DLL_CNLossOfSocTolerance_U32(0x1C14)
 - NMT_NodeAssignment_AU32(0x1F81)
 - NMT_FeatureFlags_U32(0x1F82)
 - NMT_EPLVersion_U8(0x1F83)
 - NMT_CurrNMTState_U8(0x1F8C)
 - NMT_PResPayloadLimitList_AU16(0x1F8D)
 - NMT_EPLNodeID_REC(0x1F93)
 - NMT_CycleTiming_REC(0x1F98)
 - NMT_CNBasicEthernetTimeout_U32(0x1F99)
 - NMT_ResetCmd_U8(0x1F9E)
 - DigitalInput_00h_AU8(0x6000)
 - DigitalOutput_00h_AU8(0x6200)
 - AnalogueInput_00h_AI8(0x6400)
 - AnalogueInput_00h_AI16(0x6401)
 - AnalogueInput_00h_AI32(0x6402)
 - AnalogueOutput_00h_AI8(0x6410)
 - AnalogueOutput_00h_AI16(0x6411)
 - AnalogueOutput_00h_AI32(0x6412)
 - PDO
 - TPDO
 - RPDO
 - CN_2(2)
 - CN_3(3)
 - CN_4(4)

No	Node Id	Offset	Length	Index	Sub Index
0	0x0	0x0000	0x0008	0x6000	0x01
1	0x0	0x0008	0x0008	0x6400	0x01
2	0x0	0x0010	0x0008	0x6400	0x02
3	0x0	0x0018	0x0008	0x6400	0x03
4	0x0	0x0020	0x0008	0x6400	0x04
5	0x0	0x0028	0x0010	0x6401	0x01
6	0x0	0x0038	0x0010	0x6401	0x02
7	0x0	0x0048	0x0020	0x6402	0x01
8	0x0	0x0000	0x0000	0x0000	0x00
9	0x0	0x0000	0x0000	0x0000	0x00
10	0x0	0x0000	0x0000	0x0000	0x00
11	0x0	0x0000	0x0000	0x0000	0x00
12	0x0	0x0000	0x0000	0x0000	0x00
13	0x0	0x0000	0x0000	0x0000	0x00
14	0x0	0x0000	0x0000	0x0000	0x00
15	0x0	0x0000	0x0000	0x0000	0x00
16	0x0	0x0000	0x0000	0x0000	0x00

Save Discard

Info Error Warning

```

Project 4Slavar2s11m at /home/pwrp/Documents/openCONFIGURATOR_Projects/4Slavar2s11m is successfully opened
Files mnode.txt, mnode.cdc, xap.xml, xap.h, ProcessImage.cs are generated at location /home/pwrp/Documents/openCONFIGURATOR_Projects/4Slavar2s11m/cdc_xap
Importing file /home/pwrp/Downloads/torsdagMN/openPOWERLINK-V1.08.2/ObjDicts/CIA401_CN/00000000_POWERLINK_CIA401_CN.xdd for Node ID : 2
Imported file /home/pwrp/Downloads/torsdagMN/openPOWERLINK-V1.08.2/ObjDicts/CIA401_CN/00000000_POWERLINK_CIA401_CN.xdd for Node ID: 2
Project 4Slavar2s11m at location /home/pwrp/Documents/openCONFIGURATOR_Projects/4Slavar2s11m is saved
Files mnode.txt, mnode.cdc, xap.xml, xap.h, ProcessImage.cs are generated at location /home/pwrp/Documents/openCONFIGURATOR_Projects/4Slavar2s11m/cdc_xap
Importing file /home/pwrp/Downloads/torsdagMN/openPOWERLINK-V1.08.2/ObjDicts/CIA401_CN/00000000_POWERLINK_CIA401_CN.xdd for Node ID : 3
Imported file /home/pwrp/Downloads/torsdagMN/openPOWERLINK-V1.08.2/ObjDicts/CIA401_CN/00000000_POWERLINK_CIA401_CN.xdd for Node ID: 3
    
```



```
1  /* This file was autogenerated by openCONFIGURATOR-1.2.2 on 17-Jun-2013 14:09:1
1  */
2  #ifndef XAP_h
3  #define XAP_h
4
5
6  # define COMPUTED_PI_OUT_SIZE 36
7  // The inputarea
8  typedef struct
9  {
10     unsigned CN1_M00_DigitalInput_00h_AU8_DigitalInput:8;
11     unsigned CN1_M00_AnalogueInput_00h_AI8_AnalogueInput01:8;
12     unsigned CN1_M00_AnalogueInput_00h_AI8_AnalogueInput02:8;
13     unsigned CN1_M00_AnalogueInput_00h_AI8_AnalogueInput03:8;
14     unsigned CN1_M00_AnalogueInput_00h_AI8_AnalogueInput04:8;
15     unsigned PADDING_VAR_1:8;
16     unsigned CN1_M01_AnalogueInput_00h_AI16_AnalogueInput01:16;
17     unsigned CN1_M01_AnalogueInput_00h_AI16_AnalogueInput02:16;
18     unsigned PADDING_VAR_2:16;
19     unsigned CN1_M02_AnalogueInput_00h_AI32_AnalogueInput:32;
20     unsigned CN2_M00_DigitalInput_00h_AU8_DigitalInput:8;
21     unsigned CN2_M00_AnalogueInput_00h_AI8_AnalogueInput01:8;
22     unsigned CN2_M00_AnalogueInput_00h_AI8_AnalogueInput02:8;
23     unsigned CN2_M00_AnalogueInput_00h_AI8_AnalogueInput03:8;
24     unsigned CN2_M00_AnalogueInput_00h_AI8_AnalogueInput04:8;
25     unsigned PADDING_VAR_3:8;
26     unsigned CN2_M01_AnalogueInput_00h_AI16_AnalogueInput01:16;
27     unsigned CN2_M01_AnalogueInput_00h_AI16_AnalogueInput02:16;
28     unsigned PADDING_VAR_4:16;
29     unsigned CN2_M02_AnalogueInput_00h_AI32_AnalogueInput:32;
30     unsigned CN3_M00_DigitalInput_00h_AU8_DigitalInput:8;
31     unsigned CN4_M00_DigitalInput_00h_AU8_DigitalInput01:8;
32     unsigned CN4_M00_DigitalInput_00h_AU8_DigitalInput02:8;
33     unsigned PADDING_VAR_5:8;
34 } PI_OUT;
35
36 # define COMPUTED_PI_IN_SIZE 36
37 // The outputarea
38 typedef struct
39 {
40     unsigned CN1_M00_DigitalOutput_00h_AU8_DigitalOutput:8;
41     unsigned CN1_M10_AnalogueOutput_00h_AI8_AnalogueOutput01:8;
42     unsigned CN1_M10_AnalogueOutput_00h_AI8_AnalogueOutput02:8;
43     unsigned CN1_M10_AnalogueOutput_00h_AI8_AnalogueOutput03:8;
44     unsigned CN1_M10_AnalogueOutput_00h_AI8_AnalogueOutput04:8;
45     unsigned PADDING_VAR_1:8;
46     unsigned CN1_M11_AnalogueOutput_00h_AI16_AnalogueOutput01:16;
47     unsigned CN1_M11_AnalogueOutput_00h_AI16_AnalogueOutput02:16;
48     unsigned PADDING_VAR_2:16;
49     unsigned CN1_M12_AnalogueOutput_00h_AI32_AnalogueOutput:32;
50     unsigned CN2_M00_DigitalOutput_00h_AU8_DigitalOutput:8;
51     unsigned CN2_M10_AnalogueOutput_00h_AI8_AnalogueOutput01:8;
52     unsigned CN2_M10_AnalogueOutput_00h_AI8_AnalogueOutput02:8;
53     unsigned CN2_M10_AnalogueOutput_00h_AI8_AnalogueOutput03:8;
54     unsigned CN2_M10_AnalogueOutput_00h_AI8_AnalogueOutput04:8;
55     unsigned PADDING_VAR_3:8;
56     unsigned CN2_M11_AnalogueOutput_00h_AI16_AnalogueOutput01:16;
57     unsigned CN2_M11_AnalogueOutput_00h_AI16_AnalogueOutput02:16;
```

```
58     unsigned PADDING_VAR_4:16;  
59     unsigned CN2_M12_AnalogueOutput_00h_AI32_AnalogueOutput:32;  
60     unsigned CN3_M00_DigitalOutput_00h_AU8_DigitalOutput:8;  
61     unsigned CN4_M00_DigitalOutput_00h_AU8_DigitalOutput:8;  
62     unsigned PADDING_VAR_5:16;  
63 } PI_IN;  
64  
65 #endif  
66
```

Appendix E

Källkod

Denna bilaga innehåller källkoden för Powerlinkimplementationen.

- `rt_io_user.h` importerar de registrerade metoderna till Proviews ramverk
- `rt_io_m_pl.h` definierar de sammansatta datatyper som är specifika för varje klass
- `ra_io.c` emulerar Proviews sätt att initiera och starta I/O system
- `ra_io_m_pl_mn.c` agentobjektets funktioner för initiering, läsning, skrivning och avslut av Powerlinkstacken
- `ra_io_m_pl_module.c` modulobjektets funktioner för initiering, läsning, skrivning och avslut av Powerlinkstacken

```
1 /*
2  * Proview Open Source Process Control.
3  * Copyright (C) 2005-2012 SSAB EMEA AB.
4  *
5  * This file is part of Proview.
6  *
7  * This program is free software; you can redistribute it and/or
8  * modify it under the terms of the GNU General Public License as
9  * published by the Free Software Foundation, either version 2 of
10 * the License, or (at your option) any later version.
11 *
12 * This program is distributed in the hope that it will be useful
13 * but WITHOUT ANY WARRANTY; without even the implied warranty of
14 * MERCHANTABILITY or FITNESS FOR A PARTICULAR PURPOSE. See the
15 * GNU General Public License for more details.
16 *
17 * You should have received a copy of the GNU General Public License
18 * along with Proview. If not, see <http://www.gnu.org/licenses/>
19 *
20 * Linking Proview statically or dynamically with other modules is
21 * making a combined work based on Proview. Thus, the terms and
22 * conditions of the GNU General Public License cover the whole
23 * combination.
24 *
25 * In addition, as a special exception, the copyright holders of
26 * Proview give you permission to, from the build function in the
27 * Proview Configurator, combine Proview with modules generated by the
28 * Proview PLC Editor to a PLC program, regardless of the license
29 * terms of these modules. You may copy and distribute the resulting
30 * combined work under the terms of your choice, provided that every
31 * copy of the combined work is accompanied by a complete copy of
32 * the source code of Proview (the version used to produce the
33 * combined work), being distributed under the terms of the GNU
34 * General Public License plus this exception.
35 **/
36
37 #include "pwr.h"
38 #include "rt_io_base.h"
39
40 // Import methods registered in the classeditor
41 pwr_dImport pwr_BindIoUserMethods(Pl_Module);
42 pwr_dImport pwr_BindIoUserMethods(Pl_MN);
43
44 pwr_BindIoUserClasses(User) = {
45     pwr_BindIoUserClass(Pl_Module),
46     pwr_BindIoUserClass(Pl_MN),
47     pwr_NullClass
48 };
49
50
```

```
1 /*
2  * Proview Open Source Process Control.
3  * Copyright (C) 2005-2012 SSAB EMEA AB.
4  *
5  * This file is part of Proview.
6  *
7  * This program is free software; you can redistribute it and/or
8  * modify it under the terms of the GNU General Public License as
9  * published by the Free Software Foundation, either version 2 of
10 * the License, or (at your option) any later version.
11 *
12 * This program is distributed in the hope that it will be useful
13 * but WITHOUT ANY WARRANTY; without even the implied warranty of
14 * MERCHANTABILITY or FITNESS FOR A PARTICULAR PURPOSE. See the
15 * GNU General Public License for more details.
16 *
17 * You should have received a copy of the GNU General Public License
18 * along with Proview. If not, see <http://www.gnu.org/licenses/>
19 *
20 * Linking Proview statically or dynamically with other modules is
21 * making a combined work based on Proview. Thus, the terms and
22 * conditions of the GNU General Public License cover the whole
23 * combination.
24 *
25 * In addition, as a special exception, the copyright holders of
26 * Proview give you permission to, from the build function in the
27 * Proview Configurator, combine Proview with modules generated by the
28 * Proview PLC Editor to a PLC program, regardless of the license
29 * terms of these modules. You may copy and distribute the resulting
30 * combined work under the terms of your choice, provided that every
31 * copy of the combined work is accompanied by a complete copy of
32 * the source code of Proview (the version used to produce the
33 * combined work), being distributed under the terms of the GNU
34 * General Public License plus this exception.
35 **/
36
37
38 #ifndef rt_io_pl_h
39 #define rt_io_pl_h
40
41 typedef struct {
42     unsigned long channel;
43     unsigned long board;
44     unsigned int diag_cnt;
45     unsigned int diag_interval;
46     unsigned int dev_init;
47     unsigned int dev_init_cnt;
48     unsigned int dev_init_limit;
49     int softlimit_logged;
50     int input_area_size;
51     int output_area_size;
52     void *input_area;
53     void *output_area;
54 } io_sLocalPl_MN;
55
56
57 typedef struct {
58     int byte_ordering;
```

```
59 |     int float_representation;  
60 | } io_sLocalPl_CN;  
61 |  
62 | #endif  
63 |
```

```
1 /*
2  * Proview Open Source Process Control.
3  * Copyright (C) 2005-2012 SSAB EMEA AB.
4  *
5  * This file is part of Proview.
6  *
7  * This program is free software; you can redistribute it and/or
8  * modify it under the terms of the GNU General Public License as
9  * published by the Free Software Foundation, either version 2 of
10 * the License, or (at your option) any later version.
11 *
12 * This program is distributed in the hope that it will be useful
13 * but WITHOUT ANY WARRANTY; without even the implied warranty of
14 * MERCHANTABILITY or FITNESS FOR A PARTICULAR PURPOSE. See the
15 * GNU General Public License for more details.
16 *
17 * You should have received a copy of the GNU General Public License
18 * along with Proview. If not, see <http://www.gnu.org/licenses/>
19 *
20 * Linking Proview statically or dynamically with other modules is
21 * making a combined work based on Proview. Thus, the terms and
22 * conditions of the GNU General Public License cover the whole
23 * combination.
24 *
25 * In addition, as a special exception, the copyright holders of
26 * Proview give you permission to, from the build function in the
27 * Proview Configurator, combine Proview with modules generated by the
28 * Proview PLC Editor to a PLC program, regardless of the license
29 * terms of these modules. You may copy and distribute the resulting
30 * combined work under the terms of your choice, provided that every
31 * copy of the combined work is accompanied by a complete copy of
32 * the source code of Proview (the version used to produce the
33 * combined work), being distributed under the terms of the GNU
34 * General Public License plus this exception.
35 **/
36
37
38 #include "pwr.h"
39 #include "rt_gdh.h"
40 #include "rt_io_base.h"
41 #include "rt_errh.h"
42
43
44 int main()
45 {
46     pwr_tStatus sts;
47     io_tCtx io_ctx;
48     float ctime = 1;
49
50     // Make connection to error handler
51     errh_Init("pwr_io", errh_eAnix_appl1);
52
53     // Make connection to realtime database
54     sts = gdh_Init("ra_io");
55     if (EVEN(sts)) {
56         errh_Fatal("ra_io aborted\n%m", sts);
57         exit(sts);
58     }
```

```
59     }
60
61     // Create context and call init functions of all agent,
62     // rack and cardobjects
63     sts = io_init(io_mProcess_User, pwr_cNObjid, &io_ctx, 1, ctime);
64     if ( EVEN(sts) ) {
65         errh_Fatal("ra_io aborted\n%m", sts);
66         exit(sts);
67     }
68
69
70     // Call IoAgentRead() IoAgentWrite() IoCardRead() IoCardWrite()
71     // IoModuleRead() IoModuleWrite() forever
72     for (;;) {
73
74         sts = io_read(io_ctx);
75         sts = io_write(io_ctx);
76         EplTgtMilliSleep(100);
77     }
78 }
79
```



```
1 /*
2  * Proview $Id$
3  * Copyright (C) 2005 SSAB Oxelösund.
4  *
5  * This program is free software; you can redistribute it and/or
6  * modify it under the terms of the GNU General Public License as
7  * published by the Free Software Foundation, either version 2 of
8  * the License, or (at your option) any later version.
9  *
10 * This program is distributed in the hope that it will be useful
11 * but WITHOUT ANY WARRANTY; without even the implied warranty of
12 * MERCHANTABILITY or FITNESS FOR A PARTICULAR PURPOSE. See the
13 * GNU General Public License for more details.
14 *
15 * You should have received a copy of the GNU General Public License
16 * along with the program, if not, write to the Free Software
17 * Foundation, Inc., 675 Mass Ave, Cambridge, MA 02139, USA.
18 */
19
20 /*****
21
22 (c) SYSTEC electronic GmbH, D-07973 Greiz, August-Bebel-Str. 29
23     www.systemec-electronic.com
24
25 (c) Bernecker + Rainer Industrie-Elektronik Ges.m.b.H.
26     B&R Strasse 1, A-5142 Eggelsberg
27     www.br-automation.com
28
29 License:
30
31 Redistribution and use in source and binary forms, with or without
32 modification, are permitted provided that the following conditions
33 are met:
34
35 1. Redistributions of source code must retain the above copyright
36 notice, this list of conditions and the following disclaimer.
37
38 2. Redistributions in binary form must reproduce the above copyright
39 notice, this list of conditions and the following disclaimer in the
40 documentation and/or other materials provided with the distribution.
41
42 3. Neither the name of the copyright holders nor the names of its
43 contributors may be used to endorse or promote products derived
44 from this software without prior written permission. For written
45 permission, please contact info@systemec-electronic.com.
46
47 THIS SOFTWARE IS PROVIDED BY THE COPYRIGHT HOLDERS AND CONTRIBUTORS
48 "AS IS" AND ANY EXPRESS OR IMPLIED WARRANTIES, INCLUDING, BUT NOT
49 LIMITED TO, THE IMPLIED WARRANTIES OF MERCHANTABILITY AND FITNESS
50 FOR A PARTICULAR PURPOSE ARE DISCLAIMED. IN NO EVENT SHALL THE
51 COPYRIGHT HOLDERS OR CONTRIBUTORS BE LIABLE FOR ANY DIRECT, INDIRECT,
52 INCIDENTAL, SPECIAL, EXEMPLARY, OR CONSEQUENTIAL DAMAGES (INCLUDING,
53 BUT NOT LIMITED TO, PROCUREMENT OF SUBSTITUTE GOODS OR SERVICES;
54 LOSS OF USE, DATA, OR PROFITS; OR BUSINESS INTERRUPTION) HOWEVER
55 CAUSED AND ON ANY THEORY OF LIABILITY, WHETHER IN CONTRACT, STRICT
56 LIABILITY, OR TORT (INCLUDING NEGLIGENCE OR OTHERWISE) ARISING IN
57 ANY WAY OUT OF THE USE OF THIS SOFTWARE, EVEN IF ADVISED OF THE
58 POSSIBILITY OF SUCH DAMAGE.
```

```
59
60     Severability Clause:
61
62     If a provision of this License is or becomes illegal, invalid or
63     unenforceable in any jurisdiction, that shall not affect:
64     1. the validity or enforceability in that jurisdiction of any other
65     provision of this License; or
66     2. the validity or enforceability in other jurisdictions of that or
67     any other provision of this License.
68
69     *****/
70 #include "pwr.h"
71 #include "pwr_basecomponentclasses.h"
72 #include "rt_io_base.h"
73 #include "rt_io_agent_init.h"
74 #include "rt_io_agent_close.h"
75 #include "rt_io_msg.h"
76
77 #include "pwr_cvopltestclasses.h"
78
79 #include "rt_io_m_pl.h"
80
81
82 #include "Epl.h"
83
84 #include <stdio.h>
85 #include <unistd.h>
86 #include <sys/types.h>
87 #include <sys/socket.h>
88 #include <sys/select.h>
89 #include <sys/ioctl.h>
90 #include <netinet/in.h>
91 #include <net/if.h>
92 #include <string.h>
93 #include <termios.h>
94 #include <pthread.h>
95 #include <sys/syscall.h>
96 #include <sys/resource.h>
97 #include <errno.h>
98
99 #include <sys/stat.h>
100 #include <fcntl.h>
101 #include <signal.h>
102 #include <time.h>
103 #include <stdarg.h>
104
105
106 #include <pcap.h>
107
108 #include "EplTgtConio.h"
109
110
111 /*****
112 /*
113 /*
114 /*          G L O B A L   D E F I N I T I O N S
115 /*
116 /*
```

```
117 /*****  
118  
119 //-----  
120 // const defines  
121 //-----  
122 #define IP_ADDR      0xc0a86401          // 192.168.100.1  
123 #define SUBNET_MASK 0xFFFFFFFF0        // 255.255.255.0 "  
124  
125 //-----  
126 // module global vars  
127 //-----  
128 CONST BYTE abMacAddr[] = {0x00, 0x00, 0x00, 0x00, 0x00, 0x00};  
129 static unsigned int uiCycleLen_g = 0;  
130 static unsigned int uiCurCycleLen_g = 0;  
131 tEplKernel EplRet = kEplSuccessful;  
132  
133  
134 // process image stuff  
135 static void *AppProcessImageIn_g;  
136 static void *AppProcessImageOut_g;  
137 static tEplApiProcessImageCopyJob AppProcessImageCopyJob_g;  
138  
139  
140 /*-----  
141 */  
142 //-----  
143 // local function prototypes  
144 //-----  
145  
146 // This function is the entry point for your object dictionary. It is defined  
147 // in OBJDICT.C by define EPL_OBD_INIT_RAM_NAME. Use this function name to def  
148 // ine  
149 // this function prototype here. If you want to use more than one Epl  
150 // instances then the function name of each object dictionary has to differ.  
151 tEplKernel PUBLIC EplObdInitRam (tEplObdInitParam MEM* pInitParam_p);  
152 tEplKernel PUBLIC AppCbEvent(  
153     tEplApiEventType      EventType_p,    // IN: event type (enum)  
154     tEplApiEventArg*      pEventArg_p,    // IN: event argument (union)  
155     void GENERIC*         pUserArg_p);  
156 tEplKernel PUBLIC AppCbSync(void);  
157 tEplKernel PUBLIC AppInit(void);  
158  
159 /*-----  
160 *\n      Init method for the Powerlink module  
161 \*-----  
162 */  
163 static pwr_tStatus IoAgentInit (io_tCtx ctx, io_sAgent *ap) {  
164     io_sLocalPl_MN *local;  
165     int sts;  
166     pwr_sClass_Pl_MN *op = (pwr_sClass_Pl_MN *)ap->op;  
167     local = (io_sLocalPl_MN *) calloc( 1, sizeof(io_sLocalPl_MN));  
168     ap->Local = local;  
169  
170
```

```
171 static tEplApiInitParam EplApiInitParam;
172 char* pszCdcFilename_g = op->CDCfile;
173 char* sHostname = malloc(1023);
174
175 gethostname(sHostname, 1023);
176
177 // Init the I/O area
178 unsigned int input_area_offset = 0;
179 unsigned int input_area_chansize = 0;
180 unsigned int output_area_offset = 0;
181 unsigned int output_area_chansize = 0;
182 io_sRack *rp;
183 io_sCard *cp;
184
185 for ( rp = ap->racklist; rp; rp = rp->next) {
186     rp->Local = calloc( 1, sizeof(io_sLocalPl_CN));
187     rp->MethodDisabled = 1;
188
189     // Show device offset and size
190     if ( rp->Class == pwr_cClass_Pl_CN && rp->op) {
191         ((pwr_sClass_Pl_CN *)rp->op)->InputAreaOffset = input_area_offset
+ input_area_chansize;
192         ((pwr_sClass_Pl_CN *)rp->op)->OutputAreaOffset = output_area_offset
+ output_area_chansize;
193     }
194
195     // Get byte ordering
196     pwr_tAName name;
197     pwr_tEnum byte_ordering;
198
199     strcpy( name, rp->Name);
200     strcat( name, ".ByteOrdering");
201     sts = gdh_GetObjectInfo( name, &byte_ordering, sizeof(byte_ordering));
202     if ( ODD(sts))
203         ((io_sLocalPl_CN *)rp->Local)->byte_ordering = byte_ordering;
204     else
205         ((io_sLocalPl_CN *)rp->Local)->byte_ordering =
206         pwr_eByteOrderingEnum_LittleEndian;
207
208     for ( cp = rp->cardlist; cp; cp = cp->next) {
209
210         cp->MethodDisabled = 1;
211
212         // Show module offset and size
213         if ( cp->Class == pwr_cClass_Pl_Module && cp->op) {
214             ((pwr_sClass_Pl_Module *)cp->op)->InputAreaOffset = input_area
_offset + input_area_chansize;
215             ((pwr_sClass_Pl_Module *)cp->op)->OutputAreaOffset = output_ar
ea_offset + output_area_chansize;
216         }
217
218         io_bus_card_init( ctx, cp, &input_area_offset, &input_area_chansiz
e, &output_area_offset, &output_area_chansize, byte_ordering);
219
220         // Show module offset and size
221         if ( cp->Class == pwr_cClass_Pl_Module && cp->op) {
222             ((pwr_sClass_Pl_Module *)cp->op)->InputAreaSize = input_area_o
ffset + input_area_chansize - ((pwr_sClass_Pl_Module *)cp->op)->InputAreaOffse
```

```
;
223         ((pwr_sClass_PL_Module *)cp->op)->OutputAreaSize = output_area
_offset + output_area_chansize - ((pwr_sClass_PL_Module *)cp->op)->OutputArea0
ffset;
224     }
225 }
226
227 // Show device offset and size
228 if ( rp->Class == pwr_cClass_PL_CN && rp->op) {
229     ((pwr_sClass_PL_CN *)rp->op)->InputAreaSize = input_area_offset +
input_area_chansize - ((pwr_sClass_PL_CN *)rp->op)->InputAreaOffset;
230     ((pwr_sClass_PL_CN *)rp->op)->OutputAreaSize = output_area_offset
+ output_area_chansize - ((pwr_sClass_PL_CN *)rp->op)->OutputAreaOffset;
231 }
232 }
233
234 // This is the calculated in- and outputarea size
235 local->input_area_size = input_area_offset + input_area_chansize;
236 local->output_area_size = output_area_offset + output_area_chansize;
237
238
239 // Initialize target specific stuff
240 EplTgtInit();
241
242 EPL_MEMSET(&EplApiInitParam, 0, sizeof (EplApiInitParam));
243 EplApiInitParam.m_uiSizeOfStruct = sizeof (EplApiInitParam);
244
245 // Get devicename from attribute in agent
246 EplApiInitParam.m_HwParam.m_pszDevName = op->Device;
247
248 // Get nodeid from attribute in agent
249 EplApiInitParam.m_uiNodeId = op->NodeId;
250 EplApiInitParam.m_dwIpAddress = (0xFFFFFFFF00 & IP_ADDR) | EplApiInitParam.m
_uiNodeId;
251
252 // write 00:00:00:00:00:00 to MAC address, so that the driver uses the rea
l hardware address
253 EPL_MEMCPY(EplApiInitParam.m_abMacAddress, abMacAddr, sizeof (EplApiInitPa
ram.m_abMacAddress));
254
255 EplApiInitParam.m_fAsyncOnly = FALSE;
256
257 EplApiInitParam.m_dwFeatureFlags = -1;
258 // required for error detection
259 EplApiInitParam.m_dwCycleLen = uiCycleLen_g;
260 // const
261 EplApiInitParam.m_uiIsochrTxMaxPayload = 256;
262 // const
263 EplApiInitParam.m_uiIsochrRxMaxPayload = 256;
264 // const; only required for IdentRes
265 EplApiInitParam.m_dwPresMaxLatency = 50000;
266 // required for initialisation (+28 bytes)
267 EplApiInitParam.m_uiPreqActPayloadLimit = 36;
268 // required for initialisation of Pres frame (+28 bytes)
269 EplApiInitParam.m_uiPresActPayloadLimit = 36;
270 // const; only required for IdentRes
271 EplApiInitParam.m_dwAsndMaxLatency = 150000;
272 // required for error detection
```

```
273 EplApiInitParam.m_uiMultiplCycleCnt = 0;
274 // required to set up max frame size
275 EplApiInitParam.m_uiAsyncMtu = 1500;
276 // required for sync
277 EplApiInitParam.m_uiPrescaler = 2;
278 EplApiInitParam.m_dwLossOfFrameTolerance = 500000;
279 EplApiInitParam.m_dwAsyncSlotTimeout = 3000000;
280 EplApiInitParam.m_dwWaitSocPreq = 150000;
281 // NMT_DeviceType_U32
282 EplApiInitParam.m_dwDeviceType = -1;
283 // NMT_IdentityObject_REC.VendorId_U32
284 EplApiInitParam.m_dwVendorId = -1;
285 // NMT_IdentityObject_REC.ProductCode_U32
286 EplApiInitParam.m_dwProductCode = -1;
287 // NMT_IdentityObject_REC.RevisionNo_U32
288 EplApiInitParam.m_dwRevisionNumber = -1;
289 // NMT_IdentityObject_REC.SerialNo_U32
290 EplApiInitParam.m_dwSerialNumber = -1;
291
292 EplApiInitParam.m_dwSubnetMask = SUBNET_MASK;
293 EplApiInitParam.m_dwDefaultGateway = 0;
294 EPL_MEMCPY(EplApiInitParam.m_sHostname, sHostname, sizeof(EplApiInitParam.
m_sHostname));
295 EplApiInitParam.m_uiSyncNodeId = EPL_C_ADR_SYNC_ON_SOA;
296 EplApiInitParam.m_fSyncOnPrcNode = FALSE;
297
298 // set callback functions
299 EplApiInitParam.m_pfnCbEvent = AppCbEvent;
300
301 EplApiInitParam.m_pfnObdInitRam = EplObdInitRam;
302 EplApiInitParam.m_pfnCbSync = AppCbSync;
303
304
305 // initialize POWERLINK stack
306 EplRet = EplApiInitialize(&EplApiInitParam);
307 if(EplRet != kEplSuccessful)
308 {
309     errh_Error("EplApiInitialize() failed (Error:0x%x!\n", EplRet);
310     goto Exit;
311 }
312
313
314 EplRet = EplApiSetCdcFilename(pszCdcFilename_g);
315 if(EplRet != kEplSuccessful)
316 {
317     goto Exit;
318 }
319
320 // Allocate memory for the in- and outputareas
321 AppProcessImageIn_g = malloc(local->output_area_size);
322 AppProcessImageOut_g = malloc(local->input_area_size);
323
324
325 // Save pointer to in- and outputareas in THIS agent object
326 local->input_area = AppProcessImageOut_g;
327 local->output_area = AppProcessImageIn_g;
328
329 AppProcessImageCopyJob_g.m_fNonBlocking = FALSE;
```

```
330     AppProcessImageCopyJob_g.m_uiPriority = 0;
331     AppProcessImageCopyJob_g.m_In.m_pPart = AppProcessImageIn_g;
332     AppProcessImageCopyJob_g.m_In.m_uiOffset = 0;
333     AppProcessImageCopyJob_g.m_In.m_uiSize = local->output_area_size;
334     AppProcessImageCopyJob_g.m_Out.m_pPart = AppProcessImageOut_g;
335     AppProcessImageCopyJob_g.m_Out.m_uiOffset = 0;
336     AppProcessImageCopyJob_g.m_Out.m_uiSize = local->input_area_size;
337
338     EplRet = EplApiProcessImageAlloc(local->output_area_size, local->input_area_size, 2, 2);
339     if (EplRet != kEplSuccessful)
340     {
341         goto Exit;
342     }
343
344     EplRet = EplApiProcessImageSetup();
345     if (EplRet != kEplSuccessful)
346     {
347         goto Exit;
348     }
349
350     // start processing
351     EplRet = EplApiExecNmtCommand(kEplNmtEventSwReset);
352     if (EplRet != kEplSuccessful)
353     {
354         IoAgentClose(NULL, NULL);
355         goto Exit;
356     }
357
358     errh_Success ("Powerlink init successfull");
359     return IO__SUCCESS;
360
361 Exit:
362     errh_Error("IoCardInit: returns 0x%X\n", EplRet);
363     op->EplStatus = EplRet;
364     return IO__SUCCESS;
365 }
366
367
368
369
370 //=====//
371 //
372 //          P R I V A T E   F U N C T I O N S
373 //
374 //=====//
375
376
377 //-----//
378 //
379 // Function:      AppCbEvent
380 //
381 // Description:   event callback function called by EPL API layer within
382 //                user part (low priority).
383 //
384 // Parameters:   EventType_p      = event type
385 //                pEventArg_p     = pointer to union, which describes
386 //                the event in detail
```

```
387 //          pUserArg_p      = user specific argument
388 //
389 // Returns:   tEplKernel    = error code,
390 //           kEplSuccessful = no error
391 //           kEplReject    = reject further processing
392 //           otherwise     = post error event to API layer
393 //
394 // State:
395 //
396 //-----
397 tEplKernel PUBLIC AppCbEvent
398 (
399     tEplApiEventType      EventType_p,    // IN: event type (enum)
400     tEplApiEventArg*      pEventArg_p,    // IN: event argument (union)
401     void GENERIC*         pUserArg_p      // __attribute__((unused))
402 )
403 {
404
405     UINT                uiVarLen;
406
407     UNUSED_PARAMETER(pUserArg_p);
408
409     // check if NMT_GS_OFF is reached
410     switch (EventType_p)
411     {
412         case kEplApiEventNmtStateChange:
413         {
414             switch (pEventArg_p->m_NmtStateChange.m_NewNmtState)
415             {
416                 case kEplNmtGsOff:
417                 {
418                     // NMT state machine was shut down,
419                     // because of user signal (CTRL-C) or critical EPL stack e
420                     // -> also shut down EplApiProcess() and main()
421                     EplRet = kEplShutdown;
422                     errh_Fatal("Event:kEplNmtGsOff originating event = 0x%X (%
423 s)\n", pEventArg_p->m_NmtStateChange.m_NmtEvent,
424                               EplGetNmtEventStr(pEventArg_p->m_NmtStateChange.m
425 _NmtEvent));
426
427                     break;
428                 }
429
430                 case kEplNmtGsResetCommunication:
431                 {
432                     // continue
433                 }
434
435                 case kEplNmtGsResetConfiguration:
436                 {
437                     if (uiCycleLen_g != 0)
438                     {
439                         EplRet = EplApiWriteLocalObject(0x1006, 0x00, &uiCycle
440 Len_g, sizeof (uiCycleLen_g));
441                         uiCurCycleLen_g = uiCycleLen_g;
442                     }
443                     else

```



```
441         {
442             uiVarLen = sizeof(uiCurCycleLen_g);
443             EplApiReadLocalObject(0x1006, 0x00, &uiCurCycleLen_g,
&uiVarLen);
444         }
445         // continue
446     }
447
448     case kEplNmtMsPreOperational1:
449     {
450         errh_Info("AppCbEvent(0x%X) originating event = 0x%X (%s)\n", pEventArg_p->m_NmtStateChange.m_NewNmtState, pEventArg_p->m_NmtStateChange.m_NmtEvent, EplGetNmtEventStr(pEventArg_p->m_NmtStateChange.m_NmtEvent));
451
452         // continue
453     }
454
455     case kEplNmtGsInitialising:
456     case kEplNmtGsResetApplication:
457     case kEplNmtMsNotActive:
458     case kEplNmtCsNotActive:
459     case kEplNmtCsPreOperational1:
460     {
461         break;
462     }
463
464     case kEplNmtCsOperational:
465     case kEplNmtMsOperational:
466     {
467         break;
468     }
469
470     default:
471     {
472         break;
473     }
474 }
475
476 break;
477 }
478
479 case kEplApiEventCriticalError:
480 case kEplApiEventWarning:
481 { // error or warning occurred within the stack or the application
482 // on error the API layer stops the NMT state machine
483
484 errh_Error( "%s(Err/Warn): Source = %s (%02X) EplError = %s (0x%03
X)\n",
485             __func__,
486             EplGetEventSourceStr(pEventArg_p->m_InternalError.m_EventSource),
487             pEventArg_p->m_InternalError.m_EventSource,
488             EplGetEplKernelStr(pEventArg_p->m_InternalError.m_EplError),
489             pEventArg_p->m_InternalError.m_EplError);
490
491 // check additional argument
492 switch (pEventArg_p->m_InternalError.m_EventSource)
```

```
493     {
494         case kEplEventSourceEventk:
495         case kEplEventSourceEventu:
496             { // error occurred within event processing
497                 // either in kernel or in user part
498
499                 errh_Error(" OrgSource = %s %02X\n", EplGetEventSourceStr
500 (pEventArg_p->m_InternalError.m_Arg.m_EventSource),
501                                     pEventArg_p->m_Interna
502 lError.m_Arg.m_EventSource);
503
504                 break;
505             }
506         case kEplEventSourceDllk:
507             { // error occurred within the data link layer (e.g. interr
508 pt processing)
509                 // the DWORD argument contains the DLL state and the NMT e
510 vent
511                 errh_Error(" val = %X\n", pEventArg_p->m_InternalError.m_A
512 rg.m_dwArg);
513
514                 break;
515             }
516         default:
517             {
518                 break;
519             }
520     }
521
522     case kEplApiEventHistoryEntry:
523     { // new history entry
524
525         errh_Info("%s(HistoryEntry): Type=0x%04X Code=0x%04X (0x%02X %02X
526 %02X %02X %02X %02X %02X)\n",
527                 __func__,
528                 pEventArg_p->m_ErrHistoryEntry.m_wEntryType,
529                 pEventArg_p->m_ErrHistoryEntry.m_wErrorCode,
530                 (WORD) pEventArg_p->m_ErrHistoryEntry.m_abAddInfo[0],
531                 (WORD) pEventArg_p->m_ErrHistoryEntry.m_abAddInfo[1],
532                 (WORD) pEventArg_p->m_ErrHistoryEntry.m_abAddInfo[2],
533                 (WORD) pEventArg_p->m_ErrHistoryEntry.m_abAddInfo[3],
534                 (WORD) pEventArg_p->m_ErrHistoryEntry.m_abAddInfo[4],
535                 (WORD) pEventArg_p->m_ErrHistoryEntry.m_abAddInfo[5],
536                 (WORD) pEventArg_p->m_ErrHistoryEntry.m_abAddInfo[6],
537                 (WORD) pEventArg_p->m_ErrHistoryEntry.m_abAddInfo[7]);
538
539         break;
540     }
541 #if ((EPL_MODULE_INTEGRATION) & (EPL_MODULE_NMT_MN)) != 0
542     case kEplApiEventNode:
543     {
544         // check additional argument
```

```
545         switch (pEventArg_p->m_Node.m_NodeEvent)
546         {
547             case kEplNmtNodeEventCheckConf:
548             {
549 g_p->m_Node.m_uiNodeId);
550
551                 break;
552             }
553
554             case kEplNmtNodeEventUpdateConf:
555             {
556 rg_p->m_Node.m_uiNodeId);
557                 break;
558             }
559
560             case kEplNmtNodeEventNmtState:
561             {
562 Arg_p->m_Node.m_uiNodeId, EplGetNmtStateStr(pEventArg_p->m_Node.m_NmtState));
563
564                 break;
565             }
566
567             case kEplNmtNodeEventError:
568             {
569 __,
570                 pEventArg_p->m_Node.m_uiNodeId,
571 Code),
572                 EplGetEmergErrCodeStr(pEventArg_p->m_Node.m_wError
573                                     pEventArg_p->m_Node.m_wErrorCode);
574
575                 break;
576             }
577
578             case kEplNmtNodeEventFound:
579             {
580 >m_Node.m_uiNodeId);
581                 break;
582             }
583
584             default:
585             {
586                 break;
587             }
588         }
589         break;
590     }
591 #endif
592
593 #if ((EPL_MODULE_INTEGRATION) & (EPL_MODULE_CFM)) != 0
594     case kEplApiEventCfmProgress:
595     {
596
```

```
597     errh_Info("%s(Node=0x%X, CFM-Progress: Object 0x%X/%u, ", __func__
, pEventArg_p->m_CfmProgress.m_uiNodeId, pEventArg_p->m_CfmProgress.m_uiObject
Index, pEventArg_p->m_CfmProgress.m_uiObjectSubIndex);
598     errh_Info("%lu/%lu Bytes", (ULONG) pEventArg_p->m_CfmProgress.m_dw
BytesDownloaded, (ULONG) pEventArg_p->m_CfmProgress.m_dwTotalNumberOfBytes);
599     if ((pEventArg_p->m_CfmProgress.m_dwSdoAbortCode != 0)
600         || (pEventArg_p->m_CfmProgress.m_EplError != kEplSuccessful))
601     {
602         errh_Error(" -> SDO Abort=0x%lX, Error=0x%X)\n", (unsigned lon
g) pEventArg_p->m_CfmProgress.m_dwSdoAbortCode,
603                                     pEventArg_p->m_C
fmProgress.m_EplError);
604     }
605     else
606     {
607
608     }
609     break;
610 }
611
612 case kEplApiEventCfmResult:
613 {
614     switch (pEventArg_p->m_CfmResult.m_NodeCommand)
615     {
616         case kEplNmtNodeCommandConfOk:
617         {
618             errh_Info("%s(Node=0x%X, ConfOk)\n", __func__, pEventArg_p
->m_CfmResult.m_uiNodeId);
619             break;
620         }
621
622         case kEplNmtNodeCommandConfErr:
623         {
624             errh_Info("%s(Node=0x%X, ConfErr)\n", __func__, pEventArg_
p->m_CfmResult.m_uiNodeId);
625             break;
626         }
627
628         case kEplNmtNodeCommandConfReset:
629         {
630             errh_Info("%s(Node=0x%X, ConfReset)\n", __func__, pEventAr
g_p->m_CfmResult.m_uiNodeId);
631             break;
632         }
633
634         case kEplNmtNodeCommandConfRestored:
635         {
636             errh_Info("%s(Node=0x%X, ConfRestored)\n", __func__, pEven
tArg_p->m_CfmResult.m_uiNodeId);
637             break;
638         }
639
640         default:
641         {
642             errh_Info("%s(Node=0x%X, CfmResult=0x%X)\n", __func__, pEv
entArg_p->m_CfmResult.m_uiNodeId, pEventArg_p->m_CfmResult.m_NodeCommand);
643             break;
644         }
645     }
646 }
```

```
645     }
646     break;
647 }
648 #endif
649
650     default:
651     break;
652 }
653
654
655     return EplRet;
656 }
657
658
659 //-----
660 //
661 // Function:     AppCbSync
662 //
663 // Description: sync event callback function called by event module within
664 //               kernel part (high priority).
665 //               This function sets the outputs, reads the inputs and runs
666 //               the control loop.
667 //
668 // Parameters:   void
669 //
670 // Returns:      tEplKernel      = error code,
671 //               kEplSuccessful = no error
672 //               otherwise = post error event to API layer
673 //
674 // State:
675 //
676 //-----
677 tEplKernel PUBLIC AppCbSync(void)
678 {
679
680     EplRet = EplApiProcessImageExchange(&AppProcessImageCopyJob_g);
681
682     if (EplRet != kEplSuccessful)
683     {
684         return EplRet;
685     }
686
687     return EplRet;
688 }
689
690
691 }
692
693
694 /*-----
695 *\
696     Close method for the Powerlink master
697 *\
698 */
699 static pwr_tStatus IoAgentClose (
700     io_tCtx      ctx,
701     io_sAgent    *ap
702 )
```

```
701 {
702     pwr_sClass_PL_MN *op = (pwr_sClass_PL_MN *)ap->op;
703
704     // halt the NMT state machine
705     // so the processing of POWERLINK frames stops
706     EplRet = EplApiExecNmtCommand(kEplNmtEventSwitchOff);
707
708     // delete process image
709     EplRet = EplApiProcessImageFree();
710     // delete instance for all modules
711     EplRet = EplApiShutdown();
712
713     printf("IoAgentInit(): returns 0x%X\n", EplRet);
714
715     op->EplStatus = EplRet;
716     return IO__SUCCESS;
717 }
718
719 /*-----
720 * \
721 * \ Read method for the Powerlink master
722 * /
723 static pwr_tStatus IoAgentRead( io_tCtx ctx, io_sAgent *ap)
724 {
725     io_sLocalPl_MN *local = (io_sLocalPl_MN *)ap->Local;
726     pwr_sClass_PL_MN *op = (pwr_sClass_PL_MN *)ap->op;
727     io_sRack *rp;
728     io_sCard *cp;
729
730     for ( rp = ap->racklist; rp; rp = rp->next) {
731         for ( cp = rp->cardlist; cp; cp = cp->next) {
732             io_bus_card_read( ctx, rp, cp, local->input_area, 0, ((io_sLocalPl
733             _CN *)rp->Local)->byte_ordering, pwr_eFloatRepEnum_FloatIEEE);
734         }
735     }
736
737     op->EplStatus = EplRet;
738     return IO__SUCCESS;
739 }
740
741 /*-----
742 * \
743 * \ Write method for the Powerlink master
744 * /
745 static pwr_tStatus IoAgentWrite( io_tCtx ctx, io_sAgent *ap)
746 {
747     io_sLocalPl_MN *local = (io_sLocalPl_MN *)ap->Local;
748     pwr_sClass_PL_MN *op = (pwr_sClass_PL_MN *)ap->op;
749     io_sRack *rp;
750     io_sCard *cp;
751
752     for ( rp = ap->racklist; rp; rp = rp->next) {
753         for ( cp = rp->cardlist; cp; cp = cp->next) {
754             io_bus_card_write( ctx, cp, local->output_area, ((io_sLocalPl_CN *
755             )rp->Local)->byte_ordering, pwr_eFloatRepEnum_FloatIEEE);

```

```
753     }
754 }
755
756 op->EplStatus = EplRet;
757 return IO__SUCCESS;
758
759 }
760
761 /*-----
762  * \
763  * Every method to be exported to the workbench should be registred here.
764  * \
765  * /
766
767 pwr_dExport pwr_BindIoUserMethods(Pl_MN) = {
768     pwr_BindIoMethod(IoAgentInit),
769     pwr_BindIoMethod(IoAgentClose),
770     pwr_BindIoMethod(IoAgentRead),
771     pwr_BindIoMethod(IoAgentWrite),
772     pwr_NullMethod
773 };
```

```
1  /*
2  * Proview   $Id$
3  * Copyright (C) 2005 SSAB Oxelösund.
4  *
5  * This program is free software; you can redistribute it and/or
6  * modify it under the terms of the GNU General Public License as
7  * published by the Free Software Foundation, either version 2 of
8  * the License, or (at your option) any later version.
9  *
10 * This program is distributed in the hope that it will be useful
11 * but WITHOUT ANY WARRANTY; without even the implied warranty of
12 * MERCHANTABILITY or FITNESS FOR A PARTICULAR PURPOSE. See the
13 * GNU General Public License for more details.
14 *
15 * You should have received a copy of the GNU General Public License
16 * along with the program, if not, write to the Free Software
17 * Foundation, Inc., 675 Mass Ave, Cambridge, MA 02139, USA.
18 */
19 #include "pwr.h"
20 #include "pwr_basecomponentclasses.h"
21 #include "rt_io_base.h"
22 #include "rt_io_card_init.h"
23 #include "rt_io_card_close.h"
24 #include "rt_io_card_read.h"
25 #include "rt_io_card_write.h"
26 #include "rt_io_msg.h"
27
28 #include "pwr_cvolpltestclasses.h"
29
30
31 /*-----
32 *\
33  Init method for the Powerlink module
34 *\-----
35 */
36 static pwr_tStatus IoCardInit (
37     io_tCtx      ctx,
38     io_sAgent    *ap,
39     io_sRack     *rp,
40     io_sCard     *cp
41 )
42 {
43     return IO__SUCCESS;
44 }
45
46
47 /*-----
48 *\
49  Read method for the Powerlink module
50 *\-----
51 */
52 static pwr_tStatus IoCardRead (
53     io_tCtx      ctx,
54     io_sAgent    *ap,
55     io_sRack     *rp,
56     io_sCard     *cp
```



```
55 )
56 {
57
58     return IO__SUCCESS;
59 }
60
61
62 /*-----
63 *\
64 Write method for the Powerlink module
65 *\
66 */
67 static pwr_tStatus IoCardWrite (
68     io_tCtx    ctx,
69     io_sAgent  *ap,
70     io_sRack   *rp,
71     io_sCard   *cp
72 )
73 {
74
75     return IO__SUCCESS;
76 }
77
78 /*-----
79 *\
80 Close method for the Powerlink module
81 *\
82 */
83 static pwr_tStatus IoCardClose (
84     io_tCtx    ctx,
85     io_sAgent  *ap,
86     io_sRack   *rp,
87     io_sCard   *cp
88 )
89 {
90
91     return IO__SUCCESS;
92 }
93
94 /*-----
95 *\
96 Every method to be exported to the workbench should be registred here.
97 *\
98 */
99 pwr_dExport pwr_BindIoUserMethods(Pl_Module) = {
100     pwr_BindIoMethod(IoCardInit),
101     pwr_BindIoMethod(IoCardRead),
102     pwr_BindIoMethod(IoCardWrite),
103     pwr_BindIoMethod(IoCardClose),
104     pwr_NullMethod
105 };
106
```

Appendix F

Kompilering

För att bygga projektet används följande make-fil och opt-fil för länkning.

```
1 pltest_top : pltest
2
3 include $(pwr_exe)/pwrp_rules.mk
4
5 pltest_modules = $(pwrp_obj)/ra_io_m_pl_module.o \
6                 $(pwrp_obj)/ra_io_m_pl_mn.o \
7                 $(pwrp_obj)/rt_io_user.o \
8                 $(pwrp_obj)/ra_io.o \
9                 $(pwrp_exe)/ra_io
10
11 # Main rule
12 pltest : $(pltest_modules)
13     @ echo "***** pltest modules built *****"
14
15
16 # Modules
17 $(pwrp_obj)/ra_io_m_pl_module.o : \
18 $(pwrp_appl)/ra_io_m_pl_module.c \
19     $(pwrp_inc)/pwr_cvopltestclasses.h
20
21 $(pwrp_obj)/ra_io_m_pl_mn.o : \
22 $(pwrp_appl)/ra_io_m_pl_mn.c \
23     $(pwrp_inc)/pwr_cvopltestclasses.h
24 gcc $(source) -g -c -o $(target) -Wall -DOS_LINUX -DOS_POSIX -I/home/pwrp/Downloads/openPOWERLINK-V1.08.2/Include -I/home/pwrp/Downloads/openPOWERLINK-V1.08.2/SharedBuff -I/home/pwrp/Downloads/openPOWERLINK-V1.08.2/EplStack -I/home/pwrp/Downloads/openPOWERLINK-V1.08.2/Edrv -I/home/pwrp/Downloads/openPOWERLINK-V1.08.2/ObjDicts/CiA302-4_MN -I/home/pwrp/Downloads/openPOWERLINK-V1.08.2/Examples/X86/Generic/powerlink_user_lib -I$(pwrp_inc) -I$(pwrp_inc)
25
26 $(pwrp_obj)/rt_io_user.o : $(pwrp_appl)/rt_io_user.c
27
28 $(pwrp_obj)/ra_io.o : $(pwrp_appl)/ra_io.c
29 gcc $(source) -g -c -o $(target) -Wall -DOS_LINUX -DOS_POSIX -DCONFIG_POWERLINK_USERSTACK -I/home/pwrp/Downloads/openPOWERLINK-V1.08.2/Include -I/home/pwrp/Downloads/openPOWERLINK-V1.08.2/SharedBuff -I/home/pwrp/Downloads/openPOWERLINK-V1.08.2/EplStack -I/home/pwrp/Downloads/openPOWERLINK-V1.08.2/Edrv -I/home/pwrp/Downloads/openPOWERLINK-V1.08.2/ObjDicts/CiA302-4_MN -I/home/pwrp/Downloads/openPOWERLINK-V1.08.2/Examples/X86/Generic/powerlink_user_lib -I$(pwrp_inc) -I$(pwrp_inc)
30
31
32 $(pwrp_exe)/ra_io : $(pwrp_obj)/ra_io.o
33 g++ -o $(target) $(source) $(pwrp_obj)/rt_io_user.o $(pwrp_obj)/ra_io_m_pl_module.o $(pwrp_obj)/ra_io_m_pl_mn.o -L$(pwrp_lib) -lpwr_rt -lpwr_cifx_dummy -lpwr_usb_dummy -lpwr_usbio_dummy -lpwr_pnak_dummy -lpwr_nodave_dummy -lpwr_rt -lpwr_co -lpwr_msg_dummy -lpcap -L/home/pwrp/Downloads/openPOWERLINK-V1.08.2/build/Examples/X86/Generic/powerlink_user_lib -lpowerlink /home/pwrp/Downloads/openPOWERLINK-V1.08.2/build/Examples/X86/Generic/demo_mn_console/CMakeFiles/demo_mn_console.dir/__/__/__/ObjDicts/CiA302-4_MN/EplApiProcessImageSetup.c.o /home/pwrp/Downloads/openPOWERLINK-V1.08.2/build/Examples/X86/Generic/demo_mn_console/CMakeFiles/demo_mn_console.dir/__/__/__/EplStack/EplTgtConio.c.o -lpthread -lrt
34
```

```
1 $pwrp_obj/rt_io_user.o $pwrp_obj/ra_io_m_pl_module.o $pwrp_obj/ra_io_m_pl_mn.o -  
lpwr_rt -lpwr_cifx_dummy -lpwr_usb_dummy -lpwr_usbio_dummy -lpwr_pnak_dummy -lpw  
r_nodave_dummy -lpcap -L /home/pwrp/Downloads/openPOWERLINK-V1.08.2/build/Exampl  
es/X86/Generic/powerlink_user_lib -l powerlink /home/pwrp/Downloads/openPOWERLIN  
K-V1.08.2/build/Examples/X86/Generic/demo_mn_console/CMakeFiles/demo_mn_console.  
dir/__/__/__/__/ObjDicts/CiA302-4_MN/EplApiProcessImageSetup.c.o /home/pwrp/Down  
loads/openPOWERLINK-V1.08.2/build/Examples/X86/Generic/demo_mn_console/CMakeFile  
s/demo_mn_console.dir/__/__/__/__/EplStack/EplTgtConio.c.o
```

2